

Corso di

Proprietà di Biopolimeri

Prof. R. Urbani

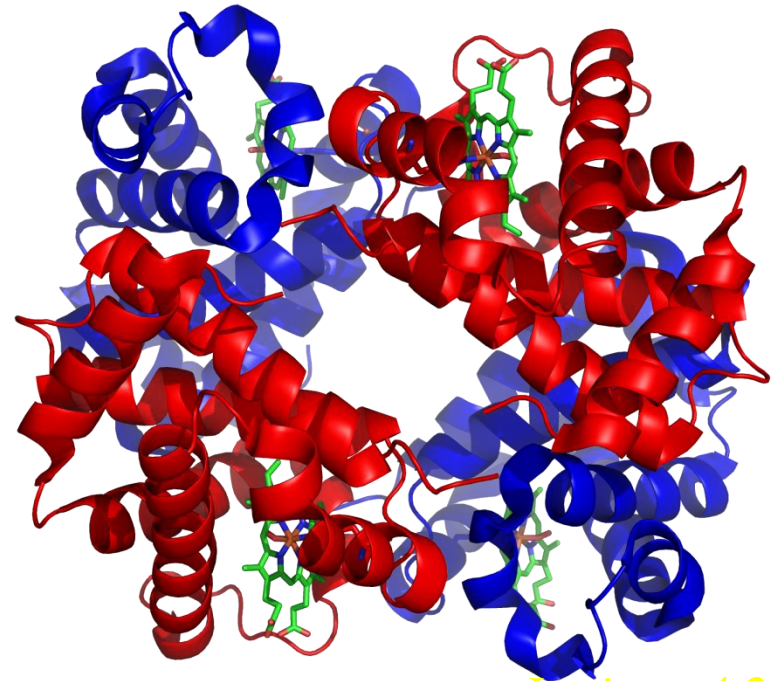
Dipartimento di Scienze Chimiche e Farmaceutiche

Tel 040 558 3684

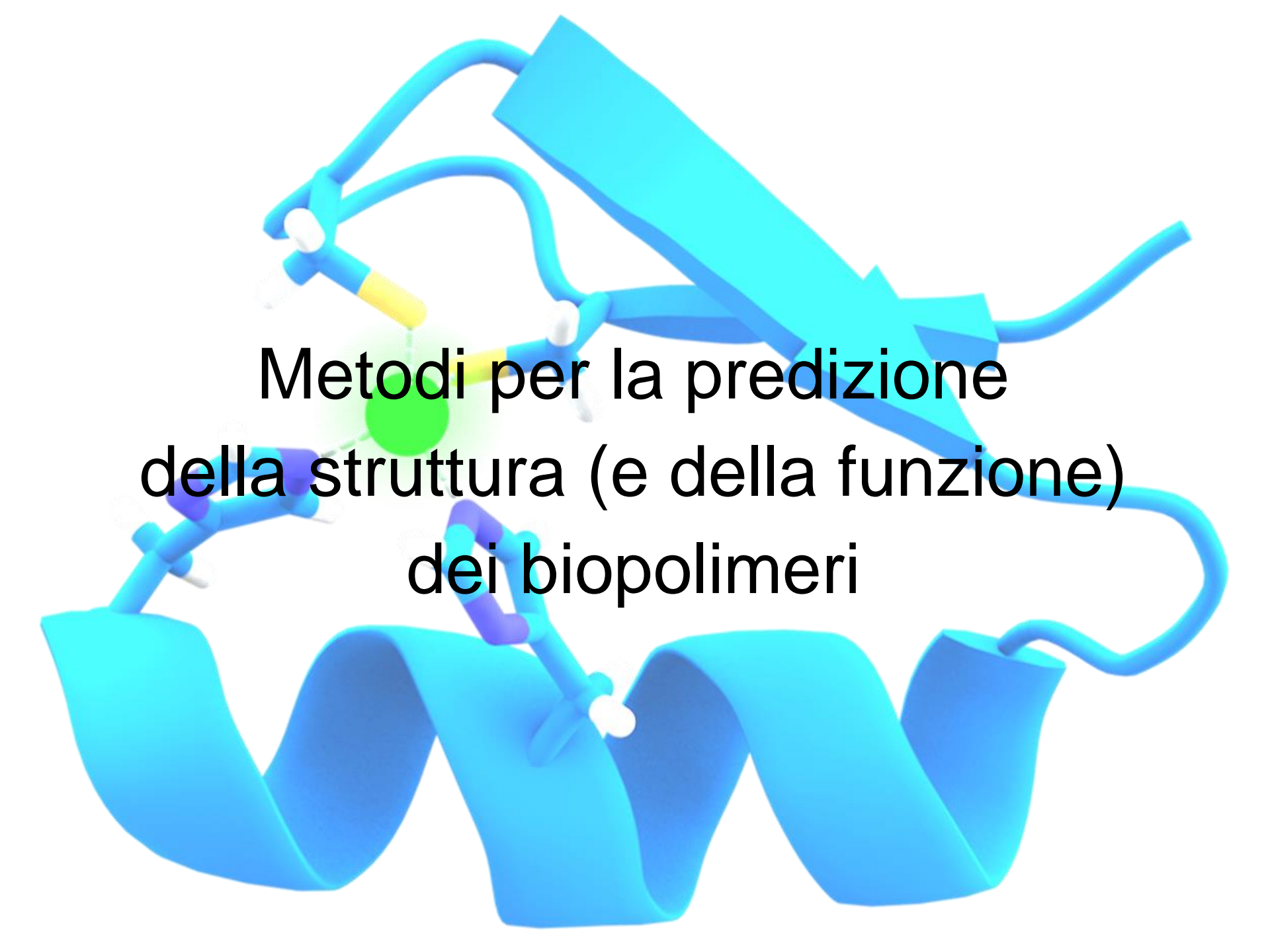
e-mail: rurbani@units.it

a.a. 2021-2022

Bioinformatica
Similitudine ed omologia



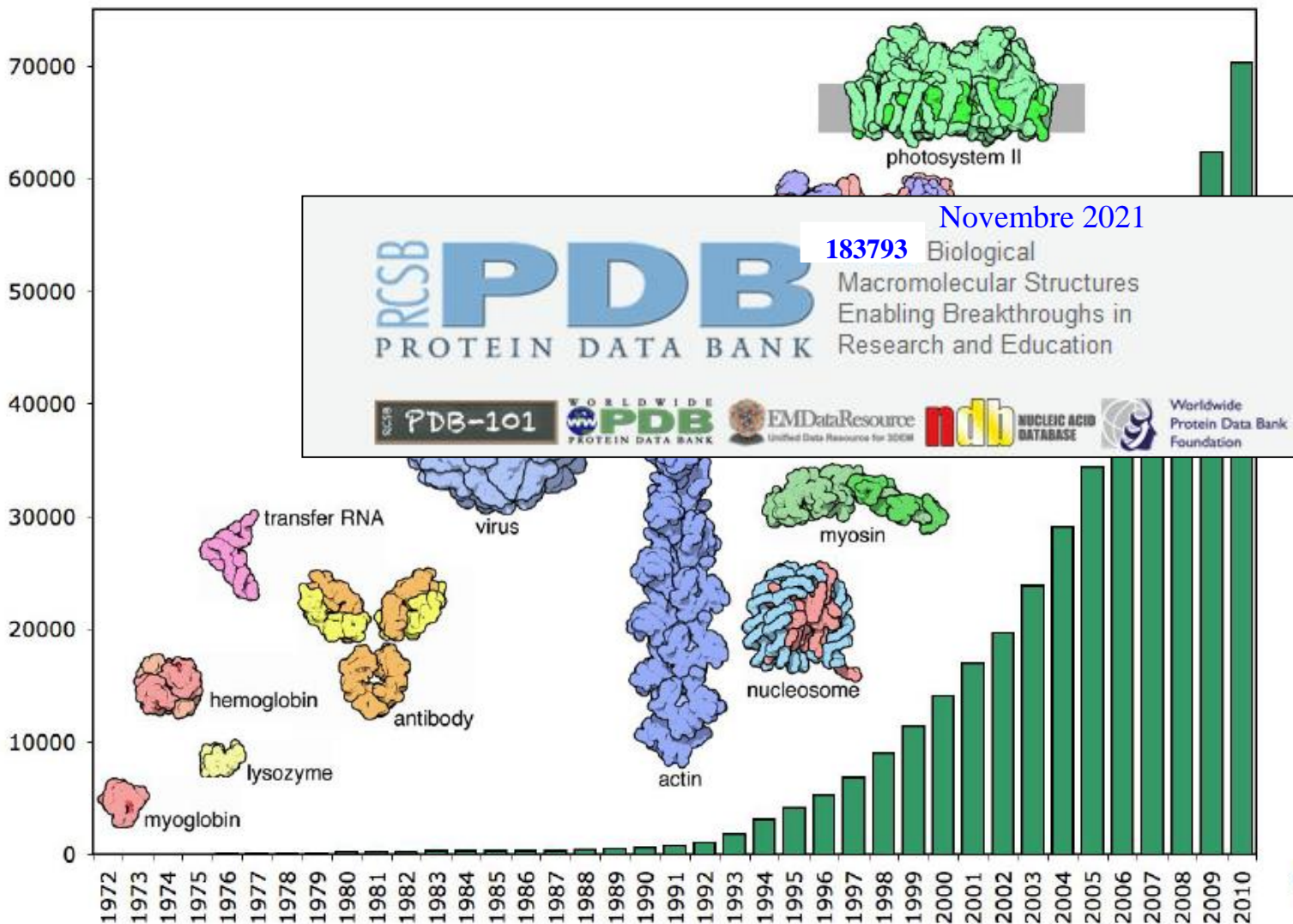
Lezione 4.2



**Metodi per la predizione
della struttura (e della funzione)
dei biopolimeri**

La struttura 3D di una proteina e' molto complessa (1958, John Kendrew, prima struttura della mioglobina)

strutture depositate nel Protein Data Bank

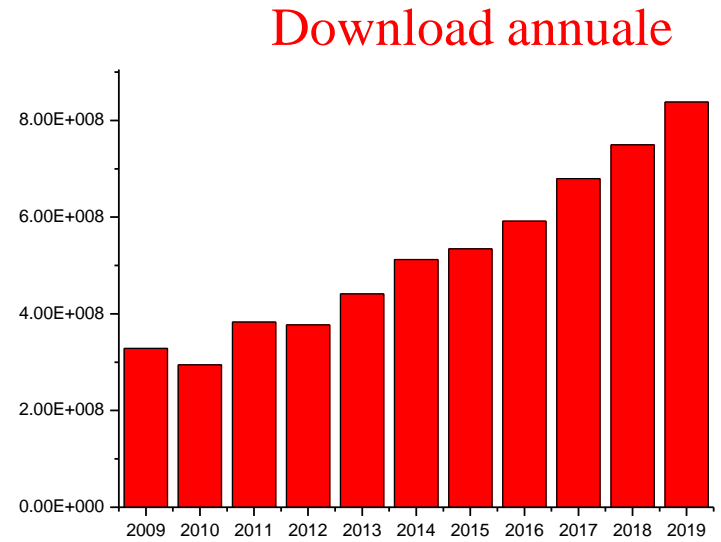
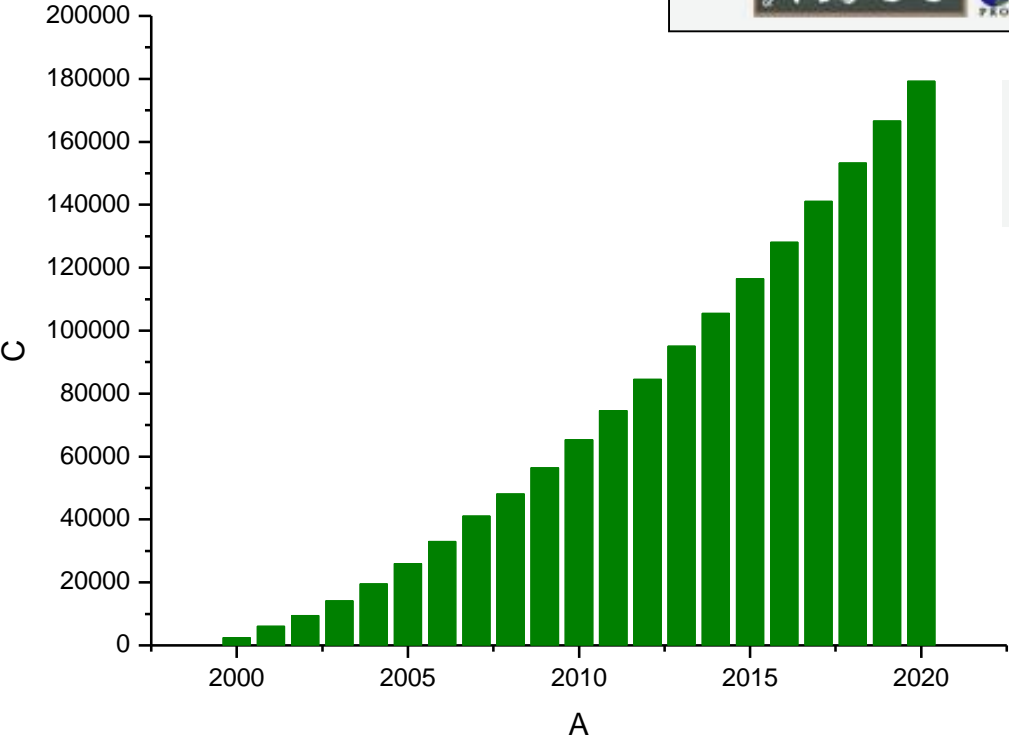


November 2021

183793 Biological
Macromolecular Structures
Enabling Breakthroughs in
Research and Education



RCSB PDB-101 WORLDWIDE PDB PROTEIN DATA BANK EMDataResource Unified Data Resource for 3DEM ndb NUCLEIC ACID DATABASE Worldwide Protein Data Bank Foundation



Lo scopo della **Bioinformatica** e della **Biochimica Computazionale** è quello di offrire strumenti e metodologie capaci di gestire ed analizzare la grande quantità di informazioni prodotte nel campo della ricerca biochimica,

determinata soprattutto **dall'enorme produzione** di sequenze di acidi nucleici e di proteine, che è il risultato degli studi relativi alle due discipline *omiche*: **genomica** e **proteomica**

gli **strumenti computazionali e bioinformatici** sono di grande aiuto, anche se essi devono essere considerati naturalmente **complementari e non alternativi** alle normali tecniche sperimentali

Dalla sequenza alla struttura secondaria

Dall'analisi delle sequenze delle proteine è possibile predire la struttura secondaria che tali sequenze possono assumere.

Metodi per la predizione delle strutture secondarie:

- **Approcci statistici**: Chou and Fasman, Garnier-Osguthorpe-Robson (GOR)
- **Proprietà chimico fisiche**: Rose, Eisenberg et al., ...
- **Riconoscimento di pattern**: Lim, Cohen et al., ...
- **Reti Neurali**: PHD, PSIPRED, ...

STRUMENTI DI PREVISIONE DELLE PROPRIETA' DI BIOPOLIMERI

METODI DI PRIMA GENERAZIONE

Scale di propensità

- Statistiche sulla presenza dei 20 amminoacidi nelle differenti strutture
- Considerazioni fisico-chimiche

Ad ogni tipo di amminoacido viene attribuito un valore di propensità ad assumere una certa struttura

An amino acid scale is defined by a numerical value assigned to each type of amino acid. The most frequently used scales are the hydrophobicity or hydrophilicity scales and the secondary structure conformational parameters scales, but many other scales exist which are based on different chemical and physical properties of the amino acids.

Molecular weight

Bulkiness

Polarity / Grantham

Recognition factors

Hphob. OMH / Sweet et al.

Hphob. / Kyte & Doolittle

Hphob. / Abraham & Leo

Hphob. / Bull & Breese

Hphob. / Guy

Hphob. / Miyazawa et al.

Hphob. / Roseman

Hphob. / Wolfenden et al.

Hphob. HPLC / Wilson & al

Hphob. HPLC pH3.4 / Cowan

Hphob. / Rf mobility

HPLC / TFA retention

HPLC / retention pH 2.1

% buried residues

Hphob. / Chothia

Ratio hetero end/side

Average flexibility

beta-sheet / Chou & Fasman

alpha-helix / Deleage & Roux

beta-turn / Deleage & Roux

alpha-helix / Levitt

beta-turn / Levitt

Antiparallel beta-strand

A.A. composition

Relative mutability

Number of codon(s)

Polarity / Zimmerman

Refractivity

Hphob. / Eisenberg et al.

Hphob. / Hopp & Woods

Hphob. / Manavalan et al.

Hphob. / Black

Hphob. / Fauchere et al.

Hphob. / Janin

Hphob. / Rao & Argos

Hphob. / Tanford

Hphob. / Welling & al

Hphob. HPLC / Parker & al

Hphob. HPLC pH7.5 / Cowan

HPLC / HFBA retention

Transmembrane tendency

HPLC / retention pH 7.4

% accessible residues

Hphob. / Rose & al

Average area buried

alpha-helix / Chou & Fasman

beta-turn / Chou & Fasman

beta-sheet / Deleage & Roux

Coil / Deleage & Roux

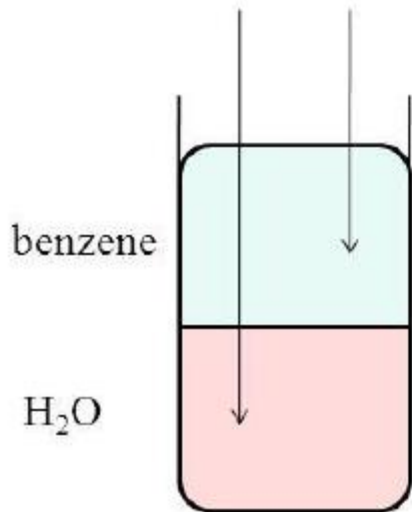
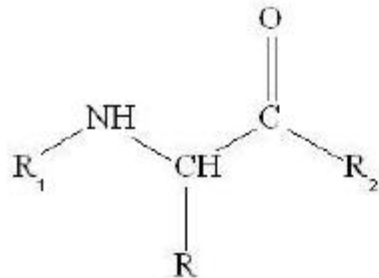
beta-sheet / Levitt

Total beta-strand

Parallel beta-strand

A.A. comp. in Swiss-Prot

Le scale di idropatia



costante di ripartizione

$$K_R = \frac{[\text{amminoacido}]_{\text{benzene}}}{[\text{amminoacido}]_{\text{H}_2\text{O}}}$$

L'energia libera per il trasferimento dell'amminoacido dall'acqua al benzene è una misura della idrofobicità

$$\Delta G_{\text{H}_2\text{O} \rightarrow \text{benzene}} = RT \ln K_R$$

scala
Kyte & Doolittle (1982)

Ala	1.8
Arg	-4.5
Asn	-3.5
Asp	-3.5
Cys	2.5
Gln	-3.5
Glu	-3.5
Gly	-0.4
His	-3.2
Ile	4.5
Leu	3.8
Lys	-3.9
Met	1.9
Phe	2.8
Pro	-1.6
Ser	-0.8
Thr	-0.7
Trp	-0.9
Tyr	-1.3
Val	4.2



Swiss Institute of
Bioinformatics

www.expasy.org

Home

About

SIB News

Contact

Expasy

Swiss Bioinformatics Resource Portal



e.g. [BLAST](#), [UniProt](#), [MSH6](#), [Albumin](#)...

 **Genes & Genomes**

- Genomics
- Metagenomics
- Transcriptomics

 **Proteins & Proteomes**

 **Evolution & Phylogeny**

- Evolution biology
- Population genetics

 **Structural Biology**

- Drug design
- Medicinal chemistry
- Structural analysis

 **Systems Biology**

- Glycomics
- Lipidomics
- Metabolomics

 **Text mining & Machine learning**

SIB Resources ⓘ

Other Resources of SIB Groups



SwissParam

Topology and parameters for small molecules



SWISS-MODEL Workspace

Fully automated protein structure homology-modeling server



SwissBiolsostere

Database of molecular replacements for ligand design



OpenStructure

Molecular modelling and visualisation environment



Swiss-PdbViewer

Display, analyse and superimpose protein 3D structures



MARCOIL

Coiled-coil regions in protein sequences



SwissSidechain

Database of non-natural amino acid side chains



Click2Drug

Directory of computational drug design tools



QMEAN

Protein model quality estimation



rBAN

Mapping of non-ribosomal peptides in SMILES format



SwissTargetPrediction

Target prediction for bioactive small molecules

1.2 Analisi del profilo di idrofobicità

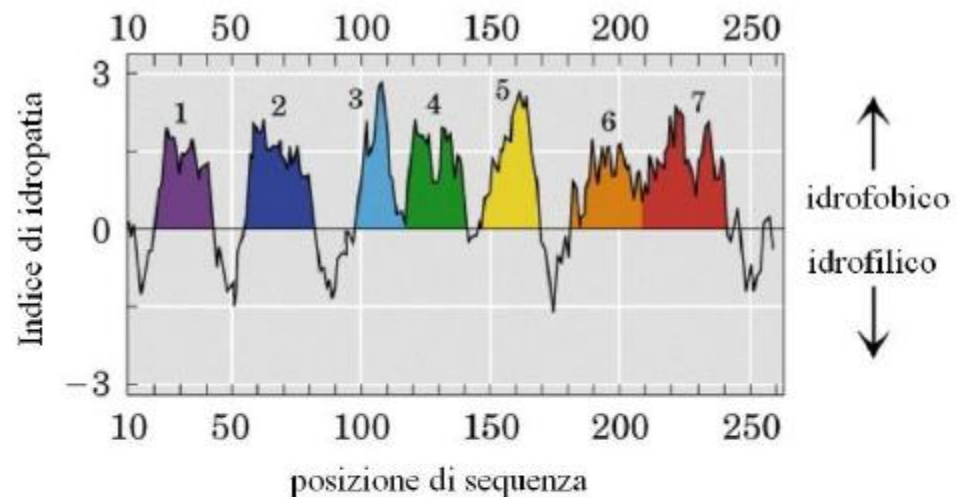
La conoscenza della struttura primaria di una proteina permette anche di prevederne il profilo di idrofobicità, vale a dire come cambiano le caratteristiche di idrofilicità e di idrofobicità lungo la sequenza. Questa informazione può essere utilizzata per prevedere la possibile interazione di una proteina con le membrane fosfolipidiche della cellula.

Amino Acid Hydropathy Scores [1]

Amino Acid	One Letter Code	Hydropathy Score
Isoleucine	I	4.5
Valine	V	4.2
Leucine	L	3.8
Phenylalanine	F	2.8
Cysteine	C	2.5
Methionine	M	1.9
Alanine	A	1.8
Glycine	G	-0.4
Threonine	T	-0.7
Serine	S	-0.8
Tryptophan	W	-0.9
Tyrosine	Y	-1.3
Proline	P	-1.6
Histidine	H	-3.2
Glutamic acid	E	-3.5
Glutamine	Q	-3.5
Aspartic acid	D	-3.5
Asparagine	N	-3.5
Lysine	K	-3.9
Arginine	R	-4.5

Kyte J, Doolittle RF (May 1982).

"A simple method for displaying the hydropathic character of a protein".
J. Mol. Biol. 157 (1): 105-32.

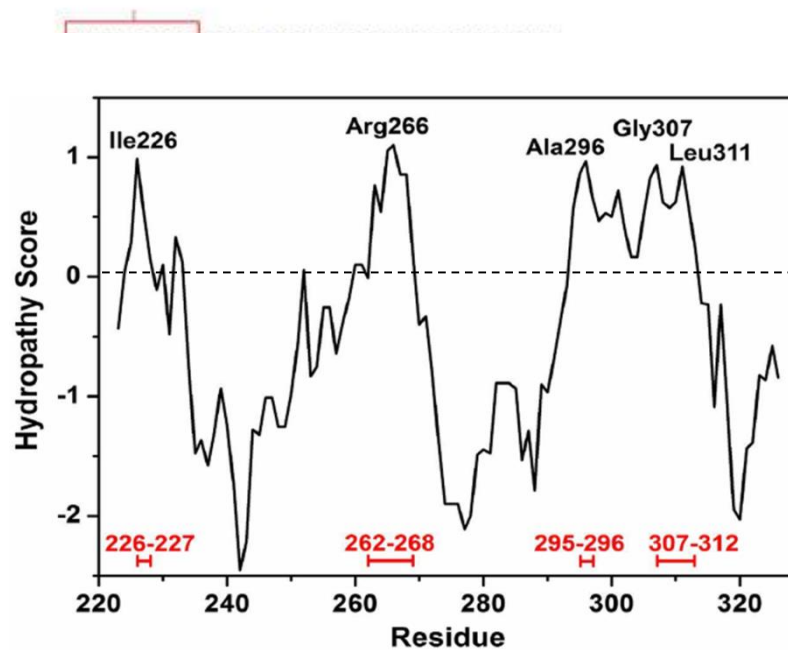


Nella parte alta della schermata che otterrete vengono indicati i valori di idrofobicità/idrofilicità attribuiti a ciascun residuo, valori più positivi indicano maggiore idrofobicità. I picchi del grafico sottostante rappresentano quindi le regioni di maggiore idrofobicità (vale a dire quelle in cui più residui idrofobici si susseguono in sequenza) e potrebbero corrispondere a regioni transmembrana.

Plot di idropatia

- Valori di idrofobicità di Kyte & Dolittle.

Ala: 1.800
 Arg: -4.500
 Asn: -3.500
 Asp: -3.500
 Cys: 2.500
 Gln: -3.500
 Glu: -3.500
 Gly: -0.400
 His: -3.200
 Ile: 4.500
 Leu: 3.800
 Lys: -3.900
 Met: 1.900
 Phe: 2.800
 Pro: -1.600
 Ser: -0.800
 Thr: -0.700
 Trp: -0.900
 Tyr: -1.300
 Val: 4.200



Esempio: HELP (Human Elastic Like Polymers)

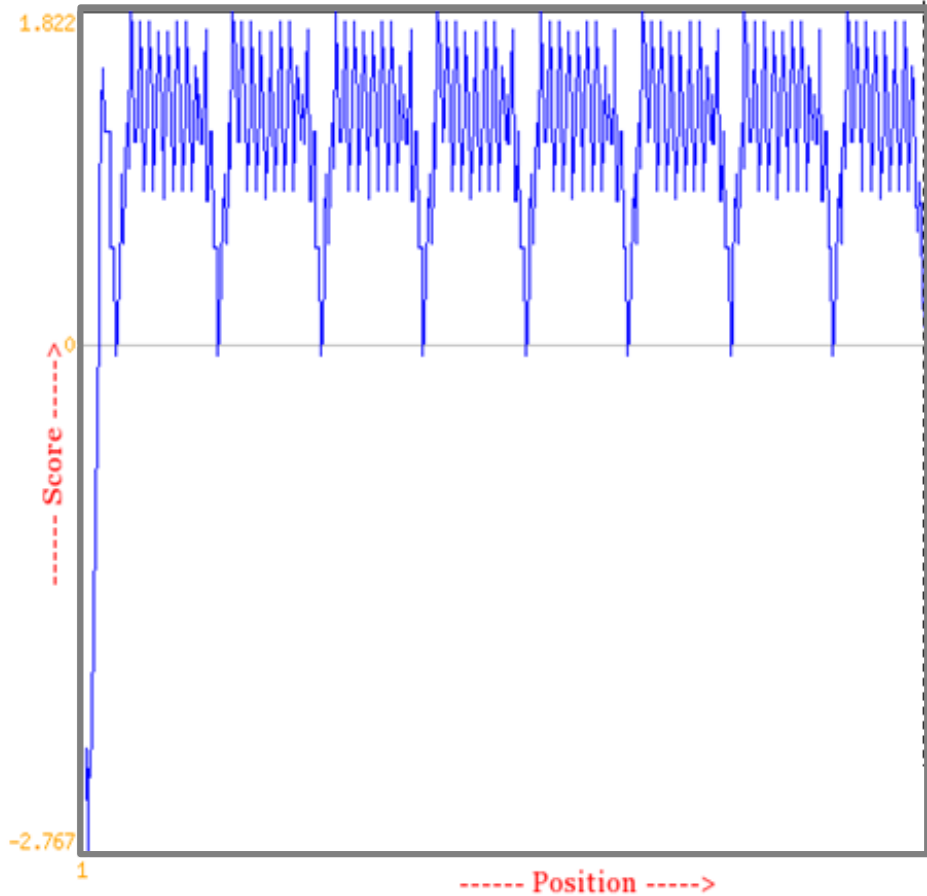
Target Sequence:

MRGSHHHHHH¹⁰ GSAAAAAAA²⁰ KAAAKAAQFG³⁰ LVPGVGVAPG⁴⁰ VGVAPGVGV⁵⁰ PGVGLAPGVG⁶⁰ VAPGVGVAPG⁷⁰
VG VAPGVGVAPG⁸⁰ AAAAAKAAAK⁹⁰ AAQFGLVPGV¹⁰⁰ GVAPGVGVAP¹¹⁰ GVG VAPGVGL¹²⁰ APGVGVAPGV¹³⁰ GVAPGVGVAP¹⁴⁰
GIAPAAAAAA¹⁵⁰ KAAAKAAQFG¹⁶⁰ LVPGVGVAPG¹⁷⁰ VGVAPGVGV¹⁸⁰ PGVGLAPGVG¹⁹⁰ VAPGVGVAPG²⁰⁰ VGVAPGIAP²¹⁰
AAAAAKAAAK²²⁰ AAQFGLVPGV²³⁰ GVAPGVGVAP²⁴⁰ GVG VAPGVGL²⁵⁰ APGVGVAPGV²⁶⁰ GVAPGVGVAP²⁷⁰ GIAPAAAAAA²⁸⁰
KAAAKAAQFG²⁹⁰ LVPGVGVAPG³⁰⁰ VGVAPGVGV³¹⁰ PGVGLAPGVG³²⁰ VAPGVGVAPG³³⁰ VGVAPGIAP³⁴⁰ AAAAAKAAAK³⁵⁰
AAQFGLVPGV³⁶⁰ GVAPGVGVAP³⁷⁰ GVG VAPGVGL³⁸⁰ APGVGVAPGV³⁹⁰ GVAPGVGVAP⁴⁰⁰ GIAPAAAAAA⁴¹⁰ KAAAKAAQFG⁴²⁰
LVPGVGVAPG⁴³⁰ VGVAPGVGV⁴⁴⁰ PGVGLAPGVG⁴⁵⁰ VAPGVGVAPG⁴⁶⁰ VGVAPGIAP⁴⁷⁰ AAAAAKAAAK⁴⁸⁰ AAQFGLVPGV⁴⁹⁰
GVAPGVGVAP⁵⁰⁰ GVG VAPGVGL⁵¹⁰ APGVGVAPGV⁵²⁰ GVAPGVGVAP⁵³⁰ GIAP

-VAPGVG-



Kyte & Doolittle Hydrophobicity Plot



Number of amino acids: 534
Molecular weight: 44729.60
Theoretical pI: 11.68

Amino acid composition:

Ala (A)	154	28.8%
Arg (R)	1	0.2%
Asn (N)	0	0.0%
Asp (D)	0	0.0%
Cys (C)	0	0.0%
Gln (Q)	8	1.5%
Glu (E)	0	0.0%
Gly (G)	130	24.3%
His (H)	6	1.1%
Ile (I)	8	1.5%
Leu (L)	16	3.0%
Lys (K)	16	3.0%
Met (M)	1	0.2%
Phe (F)	8	1.5%
Pro (P)	72	13.5%
Ser (S)	2	0.4%
Thr (T)	0	0.0%
Trp (W)	0	0.0%
Tyr (Y)	0	0.0%
Val (V)	112	21.0%
Pyl (O)	0	0.0%
Sec (U)	0	0.0%

Total number of negatively charged residues (Asp + Glu): 0
Total number of positively charged residues (Arg + Lys): 17

Total number of atoms: 6505

Extinction coefficients:

As there are no **Trp**, **Tyr** or **Cys** in the region considered, your protein should not be visible by UV spectrophotometry.

Grand average of hydropathicity (GRAVY): 1.097

Table 1. Chemico-physical parameters obtained using ExPASy Tools (ProtParam on-line software)

	MW	p.I.	<u>Hydropathy Index (GRAVY)</u>	% polar <u>a.a.</u>	% charged <u>a.a.</u>	% aromaticity
HUG	60,406	9.9	0.77	5.3	10.0	3.1
HELP	44,886	11.7	1.1	1.9	3.2	0
Human elastin	66,135	10.4	0.62	3.3	7.3	5.5
<u>UnaG</u>	15,581	6.61	-0.49	20.9	32.3	9.3

Metodo di Chou e Fassman

Una delle tecniche di predizione della struttura secondaria su base statistica più usate è quella elaborata da **Chou e Fassman (1974)**, che va a valutare la **propensità** di ciascun amminoacido a trovarsi in una particolare struttura secondaria (elica, β -strand e coil)



Questo metodo fornisce una tabella nella quale ciascun amminoacido viene classificato con un coefficiente, che riflette la frequenza con la quale esso **forma**, **interrompe** o **è indifferente** alla formazione di ciascun tipo di struttura secondaria (“**former**”, “**breaker**” o “**indifferent**”).



Si assegna quindi ad ogni residuo la conformazione avente **maggiore probabilità media** su una finestra di un certo numero di amminoacidi (da 5 a 7) che lo circondano.

Previsione della struttura secondaria secondo Chou e Fassman

Il principio della previsione e' il seguente:

- Analizzare le strutture tridimensionali di proteine di riferimento (erano 15 nell'articolo originale) a partire da dati di diffrazione dei raggi X.
- Identificare gli amminoacidi che fanno parte delle tre strutture secondarie principali: α -elica, foglietto β , ripiegamento β .

- Calcolare le frequenze con le quali ciascun residuo ricorre in un'elica

$f_{\alpha} = n_{\alpha} / n_T$ con n_{α} : numero di volte che il residuo ricorre in un'elica;
 n_T numero totale delle volte che il residuo compare nella
popolazione di proteine scelta),

$f_{\beta} = n_{\beta} / n_T$ in un foglietto

$f_{\tau} = n_{\tau} / n_T$ in un ripiegamento

•Calcolare il valor medio di f_{α} , f_{β} e f_{τ} per i 20 residui, con la formula seguente: $\langle f_{\alpha} \rangle = \Sigma f_{\alpha} / 20$.

•Calcolare la propensione a formare l'una o l'altra delle strutture secondarie:

$$P_{\alpha} = f_{\alpha} / \langle f_{\alpha} \rangle; \quad P_{\beta} = f_{\beta} / \langle f_{\beta} \rangle; \quad P_{\tau} = f_{\tau} / \langle f_{\tau} \rangle.$$

•I valori di P indicano la propensione del residuo ad essere in una delle strutture secondarie quando il valore è superiore alla media (cioè $P > 1$).

Conformational Preferences of the Amino Acids			
Amino acid	Preference		
	α -helix	β -strand	Reverse turn
Glu	1.59	0.52	1.01
Ala	1.41	0.72	0.82
Leu	1.34	1.22	0.57
Met	1.30	1.14	0.52
Gln	1.27	0.98	0.84
Lys	1.23	0.69	1.07
Arg	1.21	0.84	0.90
His	1.05	0.80	0.81
Val	0.90	1.87	0.41
Ile	1.09	1.67	0.47
Tyr	0.74	1.45	0.76
Cys	0.66	1.40	0.54
Trp	1.02	1.35	0.65
Phe	1.16	1.33	0.59
Thr	0.76	1.17	0.90
Gly	0.43	0.58	1.77
Asn	0.76	0.48	1.34
Pro	0.34	0.31	1.32
Ser	0.57	0.96	1.22
Asp	0.99	0.39	1.24

Struttura secondaria: Metodo di Chou-Fasman

Dato un insieme di strutture note, si conta quante volte ognuno degli amminoacidi è presente in una data struttura e si determina il grado di indipendenza tra l'amminoacido e la struttura

Esempio:

ALAKSLAKPSDTLAKSDFREKWEWLKLLKALACCKLSAAL
hhhhhhhhccccccccccccchhhhhhhhhhhhhhhhh

$$N(A,h) = 7, \quad N(A,c) = 1, \quad N=40, \quad N(A)=8, \quad N(h)=27$$
$$P(A,h) = 7/40, \quad P(A) = 8/40, \quad P(h) = 27/40$$

Se amminoacido e struttura sono indipendenti:

$$P(A,h) = P(A)P(h)$$

Il rapporto $P(A,h)/P(A)P(h)$ è detto propensione

1.29

RIFERIMENTI BIBLIOGRAFICI

Chou,P,Y., Fasman, G,D, 1973; *J, Mol, Biol.*, 74, 263-81,
Chou,P,Y., Fasman, G,D, 1974; *Biochemistry*, 13, 211-22,
Chou,P,Y., Fasman, G,D, 1974; *Biochemistry*, 13, 222-45

Calcolo dell'affidabilità delle predizioni:

Q3 score: la percentuale di residui di una proteina la cui struttura secondaria viene correttamente predetta dai vari metodi

Predizione strutture secondarie: accuratezza

La misura più usata per misurare il successo di un algoritmo di predizione di struttura secondaria è la misura di **accuratezza nei tre stati**: (eliche, beta, loop).

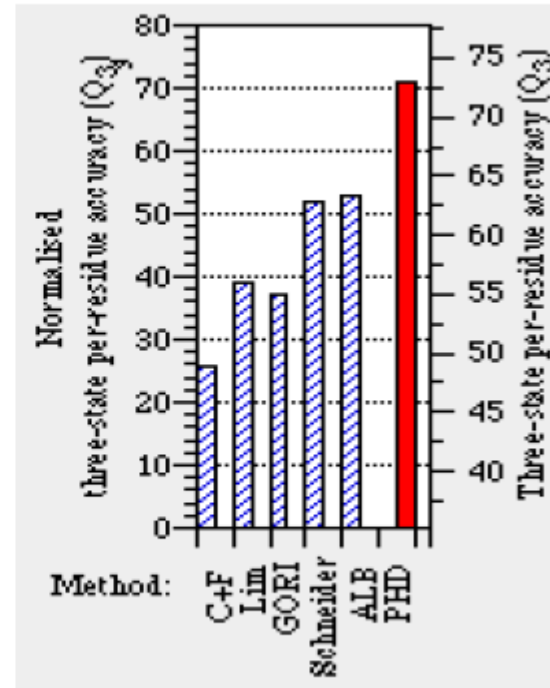
$$Q_3 = 100 \frac{\sum C_i}{N}$$

Sommatoria dei residui correttamente predetti in ciascun stato diviso i residui totali per 100.

Algoritmi di 1° generazione: <50% accuratezza

Algoritmi di 2° generazione: <60% accuratezza

Algoritmi di 3° generazione: >70% accuratezza



Algoritmi di 1° e 2° generazione: barre tratteggiate
Algoritmi di 3° generazione: barre rosse

I valori di P per in singoli amminoacidi e per le strutture secondarie sono riportati nella tabella seguente:

	P_{α}			P_{β}			P_{τ}
Glu	1,51	(HA)	Val	1,70	(HB)	Asn	1,56
Met	1,45	(HA)	Ile	1,60	(HB)	Gly	1,56
Ala	1,42	(HA)	Tyr	1,47	(HB)	Pro	1,52
Leu	1,21	(HA)	Phe	1,38	(hB)	Asp	1,46
Lys	1,16	(hA)	Trp	1,37	(hB)	Ser	1,43
Phe	1,13	(hA)	Leu	1,30	(hB)	Cys	1,19
Gln	1,11	(hA)	Cys	1,19	(hB)	Tyr	1,14
Trp	1,08	(hA)	Thr	1,19	(hB)	Lys	1,01
Ile	1,08	(hA)	Gln	1,10	(hB)	Gln	0,98
Val	1,06	(hA)	Met	1,05	(hB)	Thr	0,98
Asp	1,01	(IA)	Arg	0,93	(iB)	Trp	0,96
His	1,00	(IA)	Asn	0,89	(iB)	Arg	0,96
Arg	0,98	(iA)	His	0,87	(iB)	His	0,95
Thr	0,83	(iA)	Ala	0,83	(iB)	Glu	0,74
Ser	0,77	(iA)	Ser	0,75	(bB)	Ala	0,66
Cys	0,70	(iA)	Gly	0,75	(bB)	Met	0,60
Tyr	0,69	(bA)	Lys	0,74	(bB)	Phe	0,60
Asn	0,67	(bA)	Pro	0,55	(BB)	Leu	0,59
Pro	0,57	(BA)	Asp	0,54	(BB)	Val	0,50
Gly	0,57	(BA)	Glu	0,37	(BB)	Ile	0,47

HA, hA, IA, iA: induttori di α -eliche (forte, medio, debole, indifferente)

bA, BA: interruttori di α -eliche (deboli e forti)

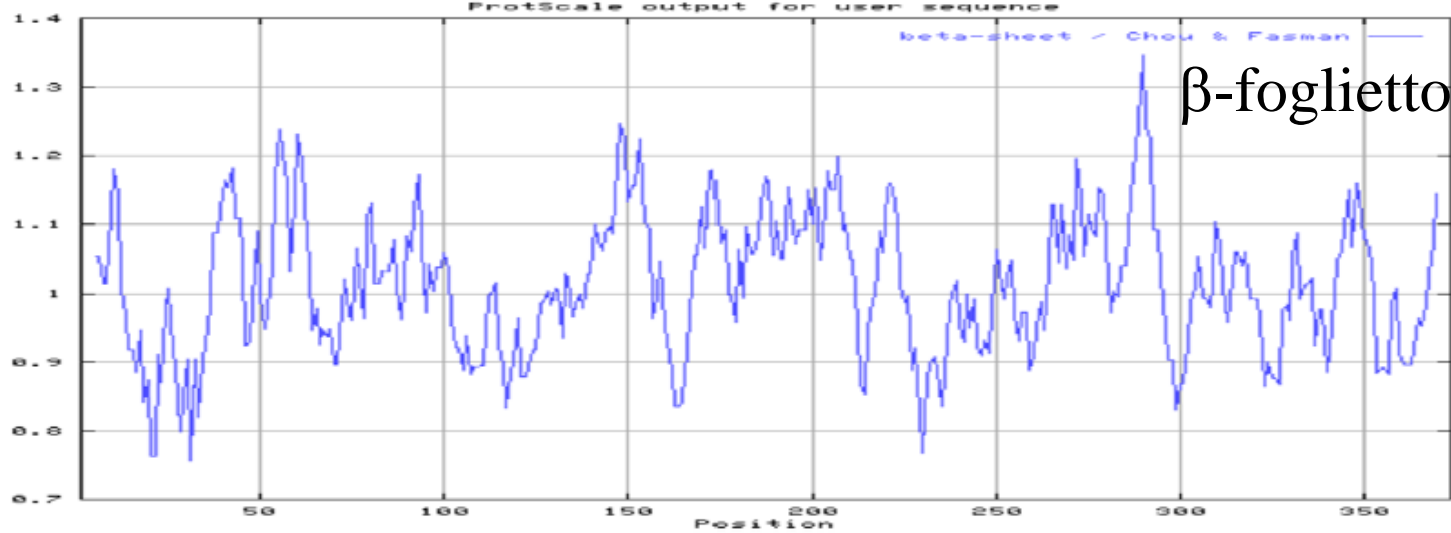
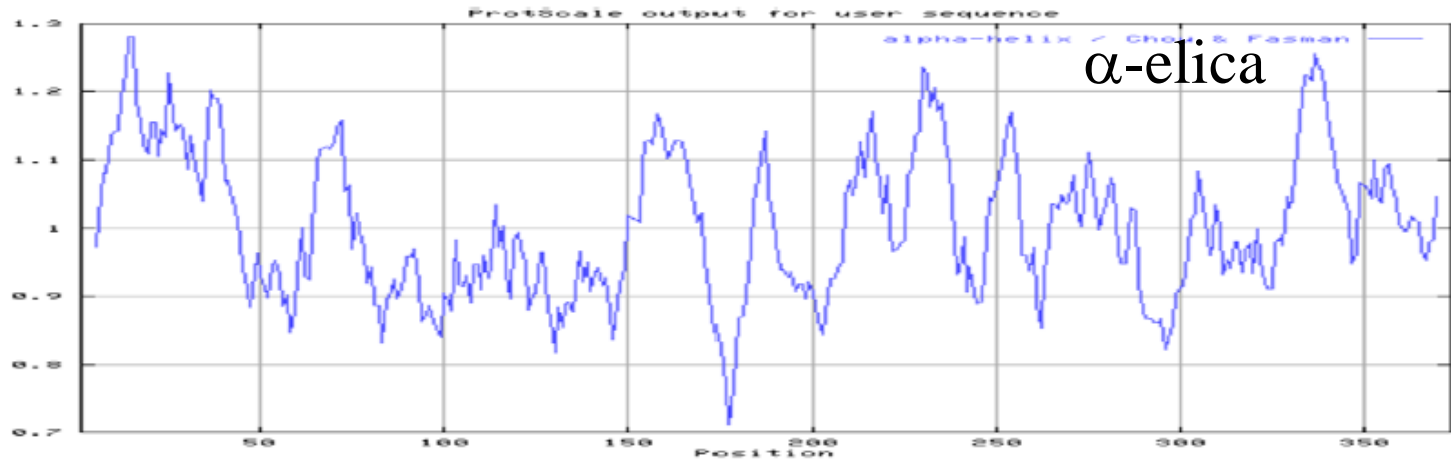
HB, hB, IB, iB: induttori di foglietto β (forte, medio, debole, indifferente)

bB, BB: interruttori di foglietto β (debole e forte)

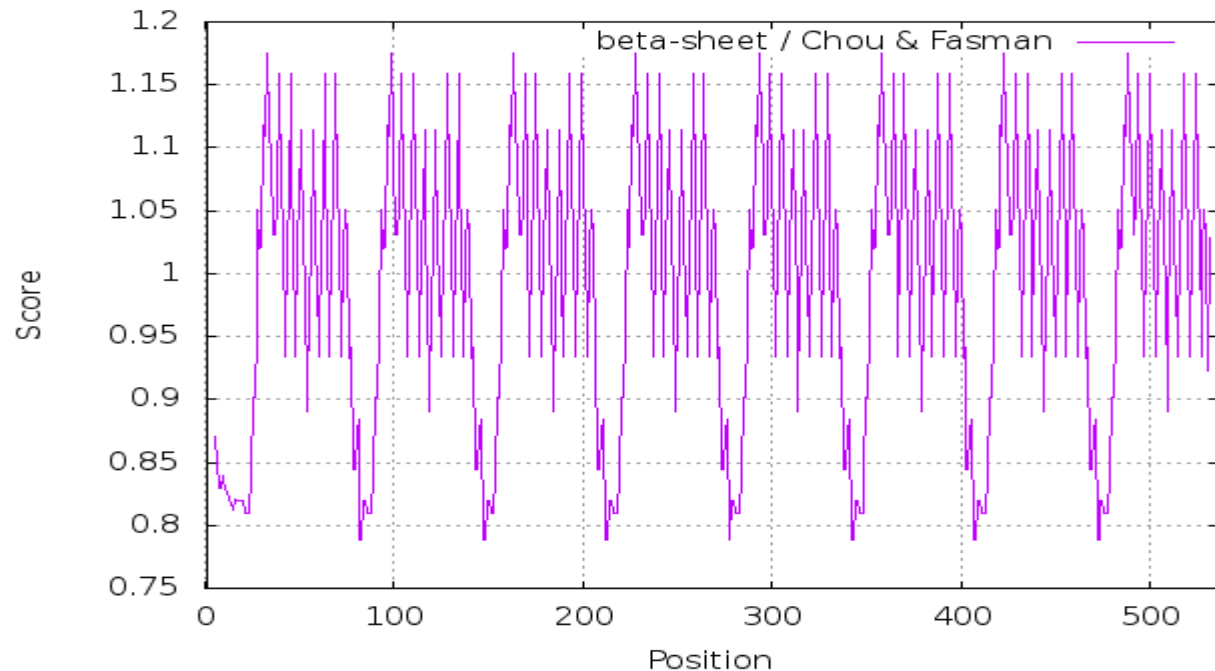
Il dataset originale comprendeva solo 15 proteine; in seguito venne ampliato fino a 144 proteine.

L'affidabilità del metodo è abbastanza bassa (circa **50%**), tuttavia il metodo Chou-Fasman è ancora molto utilizzato grazie soprattutto alla semplicità di approccio.

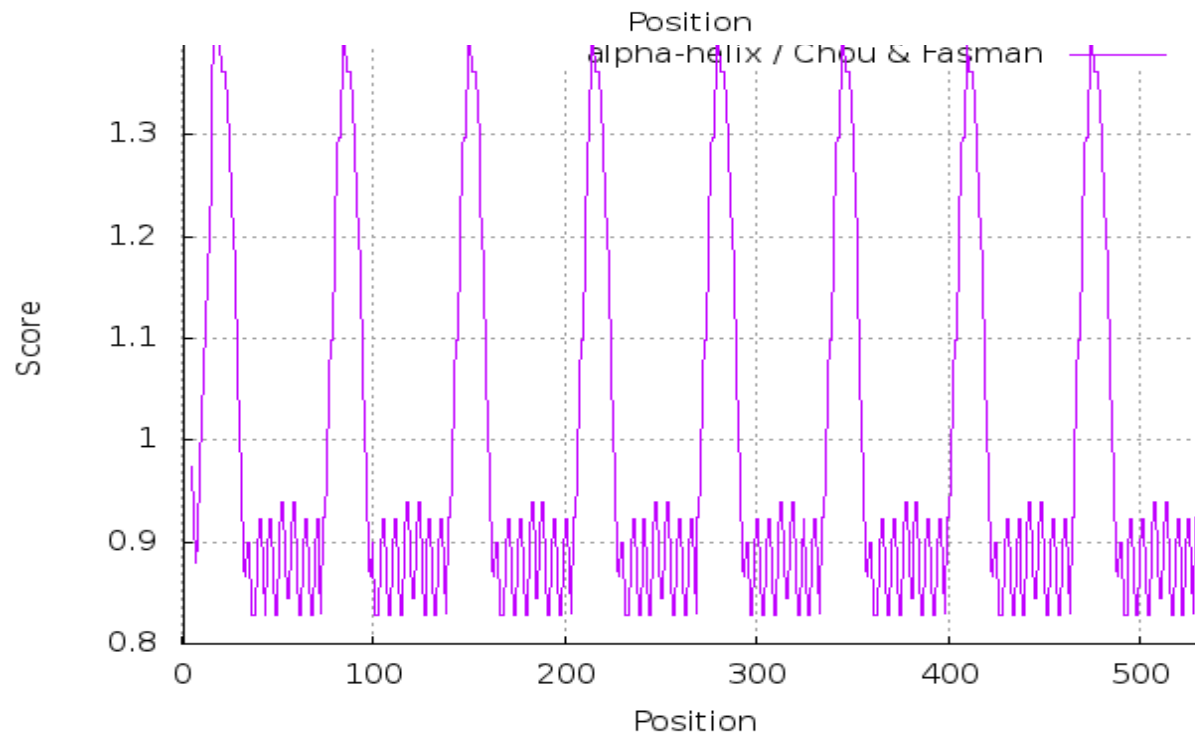
Data una nuova sequenza si mettono in grafico i valori di propensità, residuo per residuo e si ricava una predizione di struttura secondaria



ProtScale output for user_sequence



HELP



Struttura secondaria di HELP

```

      *           *           *           *           *           *
Query 1  MRGSHHHHHHGSAAAAAANKAAAKAAQFGLVPGVGVAPGVGVAPGVGVAPGVGLAPGVGVAPGVGVAPG 70
Helix 1  HHHHHHHHHHHHHHHHHHHHHHHHHHHHHHHHHHHHHHHHHHHHHHHHHHHHHHHHHHHHHHHHHHH 70
Sheet 1  EEEEEEEEE 70
Turns 1  T T T T T T T 70
Struc 1  CCTCCCCCCCCCHHHHHHHHHHHHHHHHHHHHHHHHHHHHHHHHHHHHHHHHHHHHHHHHHHHHHHHHHHHHH 70

      *           *           *           *           *           *
Query 71 VGVAPGIAPAAAAAANKAAAKAAQFGLVPGVGVAPGVGVAPGVGVAPGVGVAPGVGLAPGVGVAPGVGVAPGV 140
Helix 71 HHHHHHHHHHHHHHHHHHHHHHHHHHHHHHHHHHHHHHHHHHHHHHHHHHHHHHHHHHHHHHHHHHH 140
Sheet 71 EEEEEEEEE 140
Turns 71 T T T T T T T 140
Struc 71 CCHHTHHHHHHHHHHHHHHHHHHHHHHHHHHHHHHHHHHHHHHHHHHHHHHHHHHHHHHHHHHHHHHHHHH 140

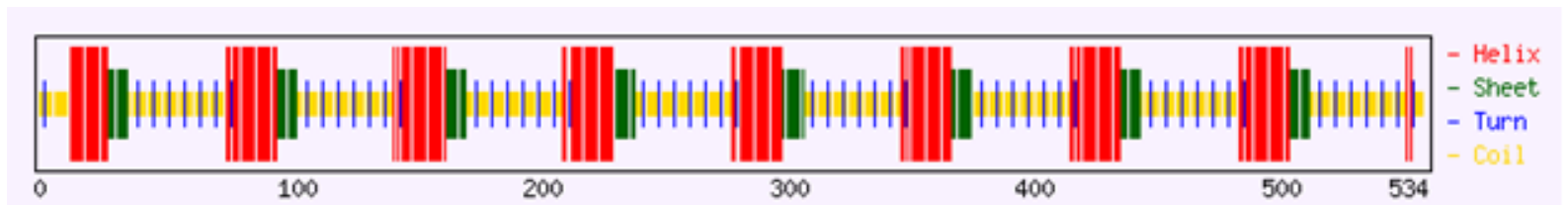
      *           *           *           *           *           *
Query 141 GIAPAAAAAANKAAAKAAQFGLVPGVGVAPGVGVAPGVGVAPGVGVAPGVGLAPGVGVAPGVGVAPGV 210
Helix 141 HHHHHHHHHHHHHHHHHHHHHHHHHHHHHHHHHHHHHHHHHHHHHHHHHHHHHHHHHHHHHHHHHHH 210
Sheet 141 EEEEEEEEE 210
Turns 141 T T T T T T T 210
Struc 141 HHHHHHHHHHHHHHHHHHHHHHHHHHHHHHHHHHHHHHHHHHHHHHHHHHHHHHHHHHHHHHHHHHH 210

      *           *           *           *           *           *
Query 211 AAAAAKAAAKAAQFGLVPGVGVAPGVGVAPGVGVAPGVGLAPGVGVAPGVGVAPGVGVAPGIAPAAAAA 280
Helix 211 HHHHHHHHHHHHHHHHHHHHHHHHHHHHHHHHHHHHHHHHHHHHHHHHHHHHHHHHHHHHHHHHHHH 280
Sheet 211 EEEEEEEEE 280
Turns 211 T T T T T T T 280
Struc 211 HHHHHHHHHHHHHHHHHHHHHHHHHHHHHHHHHHHHHHHHHHHHHHHHHHHHHHHHHHHHHHHHHHH 280

      *           *           *           *           *           *
Query 281 KAAAKAAQFGLVPGVGVAPGVGVAPGVGVAPGVGLAPGVGVAPGVGVAPGVGVAPGIAPAAAAAANKAAAK 350
Helix 281 HHHHHHHHHHHHHHHHHHHHHHHHHHHHHHHHHHHHHHHHHHHHHHHHHHHHHHHHHHHHHHHHHHH 350
Sheet 281 EEEEEEEEE 350
Turns 281 T T T T T T T 350
Struc 281 HHHHHHHHHHHHHHHHHHHHHHHHHHHHHHHHHHHHHHHHHHHHHHHHHHHHHHHHHHHHHHHHHHH 350

      *           *           *           *           *           *
Query 351 AAQFGLVPGVGVAPGVGVAPGVGVAPGVGLAPGVGVAPGVGVAPGVGVAPGIAPAAAAAANKAAAKAAQFG 420
Helix 351 HHHHHHHHHHHHHHHHHHHHHHHHHHHHHHHHHHHHHHHHHHHHHHHHHHHHHHHHHHHHHHHHHHH 420
Sheet 351 EEEEEEEEE 420
Turns 351 T T T T T T T 420
Struc 351 HHEEEEEEEEECCCTCCCCCTCCCCCTCCCCCTCCCCCTCCCCCTCCCCCTCCCCCTCCCCCTCCCCCTCC 420

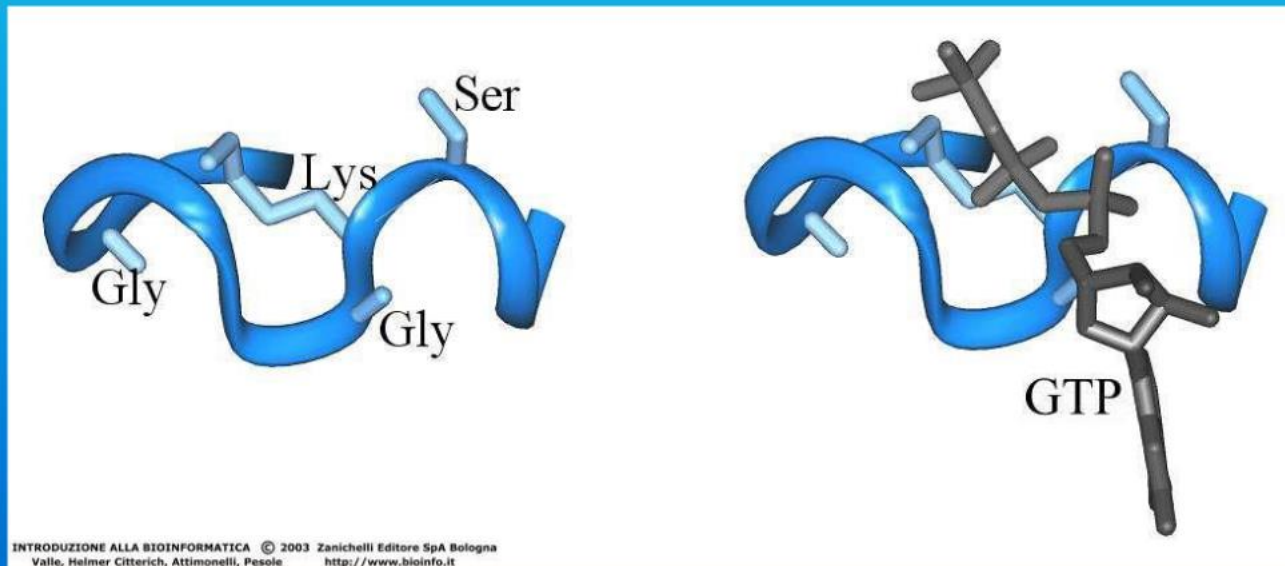
```



	number of a.a.	α -helix %	β -strand %	random coil + β -turn, %
HUG	675	22	10	68
HELP	536	26	4	70
Human ELP	757	23	12	65
<u>UnaG</u>	141	8	35	57

Definizione di pattern

Un **pattern** è costituito da un insieme di caratteri (nucleotidi o amminoacidi) non necessariamente contigui nella sequenza ma che si trovano sempre o sono spesso associati ad una precisa struttura e funzione biologica (ad esempio: promotori o hanno la stessa capacità di legare nucleotidi)



Caratteristiche chimico-fisiche e riconoscimento di pattern:

Metodi di predizione che si avvalgono del riconoscimento di pattern strutturali specifici o di caratteristiche chimico-fisiche per identificare la presenza di elementi di struttura secondaria.

Possono usare allineamenti multipli di sequenze anziché sequenze singole, e tengono conto di:

- **Posizioni di inserzioni e delezioni** (di solito in corrispondenza di loop)
- **Gly e Pro conservate** (presenza di beta turn)
- **Residui polari e idrofobici alternati** (presenza di beta strand di superficie)
- **Amminoacidi idrofobici e idrofilici con periodicità 3.6** (alfa eliche anfifiliche)

La predittività con questi metodi migliora di circa 8-9% rispetto ai soli metodi statistici.

A cosa può servire il risultato della predizione della struttura secondaria ?

L'utilizzo dipende dall'affidabilità della predizione:

- definizione della classe strutturale e confronto con classificazione di proteine (db SCOP, CATH)**
- confronto con organizzazione di struttura secondaria di proteine note**
- confronto con risultati di altri metodi (anche metodi di predizione della struttura terziaria)**

Metodi di predizione della struttura secondaria delle proteine:

Metodi di Chou-Fasman si basa sull'analisi statistica della composizione in residui delle strutture secondarie presenti nella PDB.

(http://fasta.bioch.virginia.edu/fasta_www2/fasta_www.cgi?rm=misc1)

GOR si basa sull'analisi statistica della composizione in residui delle strutture secondarie presenti nella PDB.

(http://npsa-pbil.ibcp.fr/cgi-bin/npsa_automat.pl?page=npsa_gor4.html)

AGADIR per predire la percentuale di residui in elica

(<http://www.embl-heidelberg.de/Services/serrano/agadir/agadir-start.html>)

PHD prende in input o una sequenza o un allineamento multiplo ed usa le reti neurali.

(<http://www.embl-heidelberg.de/predictprotein/predictprotein.html>)

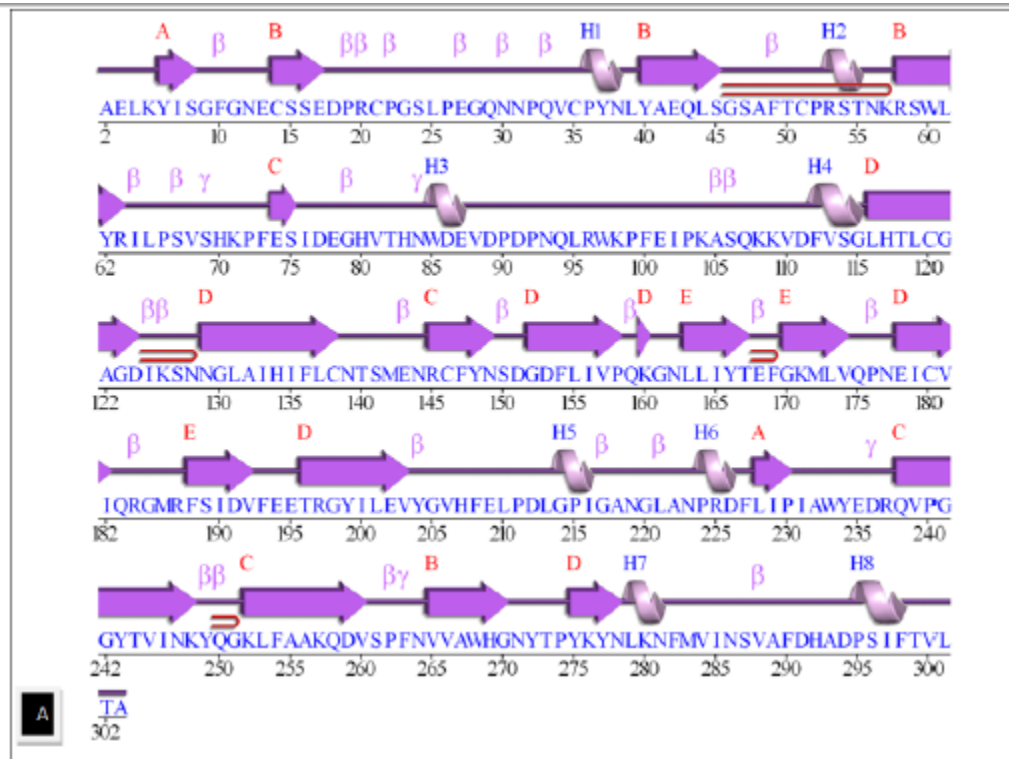
PSIPRED utilizza un sistema di due reti neurali. (<http://bioinf.cs.ucl.ac.uk/psipred/>)

PREDATOR si basa sull'applicazione del metodo del k-esimo vicino che usa le reti neurali

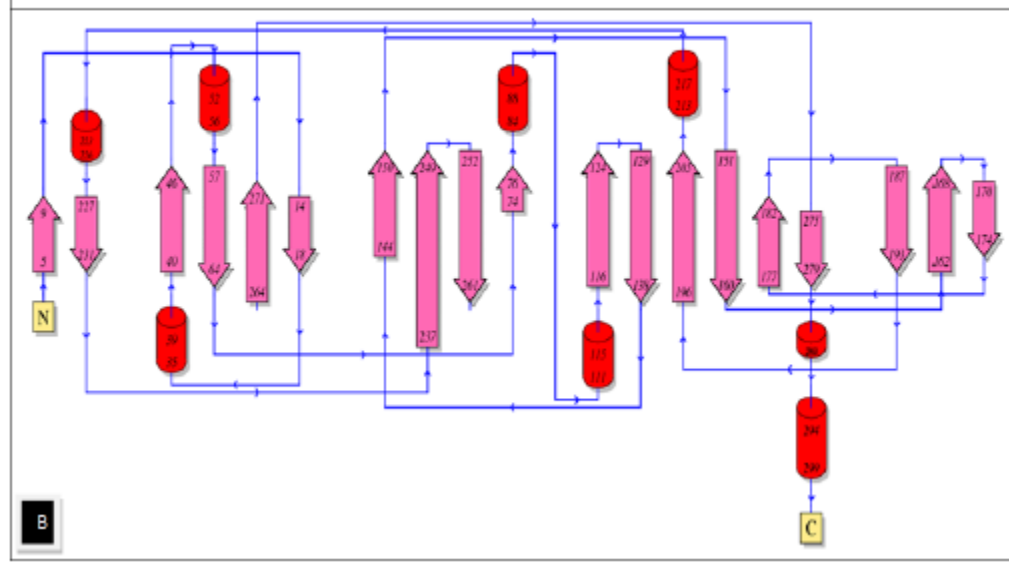
(<http://bioweb.pasteur.fr/seqanal/interfaces/predator-simple.html>)

JPRED (<http://www.compbio.dundee.ac.uk/Software/JPred/jpred.html>) fa un consensus di vari metodi

Struttura secondaria



Struttura terziaria



METODI BASATI SULL'ANALISI DELLA SINGOLA SEQUENZA

Metodi di I° GENERAZIONE

- *Metodo Chou-Fasman (1974, $Q_3 \approx 50\%$)*

In realtà questi metodi calcolano la propensione alla struttura secondaria basandosi su singola sequenza e con un contesto locale molto ridotto

- *Il metodo GOR (Garnier-Osguthorpe-Robson, 1978) è una modificazione del metodo precedente e valuta finestre di contesto locale più ampie (Q_3 50-60%).*

Metodi di II° GENERAZIONE

In auge fino agli anni 90 questi metodi prendono in considerazione contesti locali più ampi (fino a 51 AA) ed anche allineamenti multipli sebbene anche questi metodi soffrono di alcuni inconvenienti e si attestano poco oltre il 60% di Q_3 .

Il metodo GOR (Garnier-Osguthorpe-Robson, 1978)

GOR si basa sull'analisi statistica della composizione in residui delle strutture secondarie presenti in PDB.

Utilizza una finestra di **17 residui (8-1-8)** per determinare la probabilità del residuo centrale di far parte di una specifica struttura secondaria



Utilizzando un set di proteine a struttura nota, vengono calcolate le frequenze con le quali un certo aminoacido, in presenza di altri aminoacidi vicini, si trovi ad assumere una certa conformazione (alpha, beta o loops) e fornisce una matrice di punteggio per ciascuna struttura.

SOLUZIONE PROPOSTA METODI DI III° GENERAZIONE

Le reti neurali sembrano essere la risposta migliore perché sono in grado di imparare da un set di dati composto da allineamenti multipli e ricercano relazioni tra posizioni distanti all'interno dell'allineamento multiplo che sono fondamentali per la formazione della struttura secondaria. Le informazioni "evolutive" dell'allineamento multiplo hanno dato uno dei maggiori contributi all'aumento della accuratezza di tali metodi.

$$Q_3 > 70\%$$

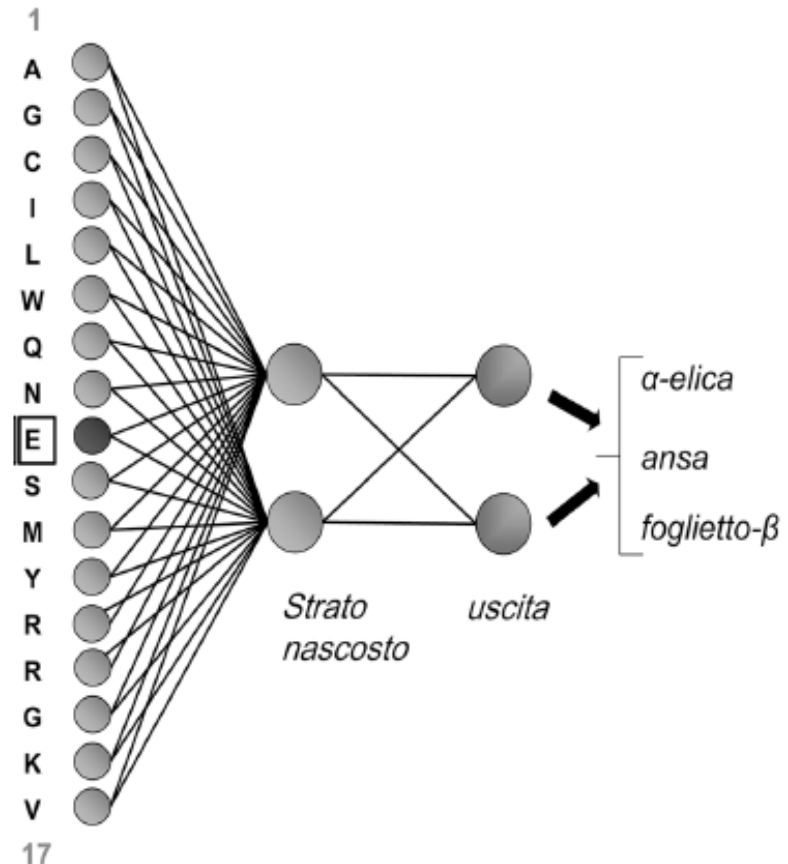
Predittori di 3° generazione: reti neurali

Sono su **reti neurali**, sistemi che simulano le operazioni dei neuroni del cervello.

Di solito vi sono 3 layer, ciascuno composto da unità elementari (neuroni) che formano connessioni (sinapsi) con ciascun neurone del layer successivo

I segnali passano da un **input layer** che raccoglie informazioni su una finestra di residui, sono inviati ad un **hidden layer** che elabora i segnali secondo una funzione matematica e li invia ad un **output layer** che predice la struttura secondaria dell'ammino acido centrale nella finestra.

I segnali sono pesati e tali pesi possono essere modificati durante l'operazione di **apprendimento** in cui vengono minimizzati gli errori di predizione in un **training set** di proteine a struttura nota



Cosa c'entra tutto ciò con le proteine?

le reti neurali possono **riconoscere** la presenza di *particolari segnali di sequenza* e prevedere proprietà strutturali e funzionali associate al segnale. Esempio: la **struttura secondaria**

Storicamente: approcci statistici basati sull'osservazione (frequenza di residui in particolari ss; "propensione"; Chou e Fasman, 1974)

Il problema però è molto adatto alle NN:

L'idea:

la rete può "leggere" una porzione di sequenza e decidere se il residuo centrale appartiene alle due principali ss periodiche (α -elica, β sheet) o a nessuno delle due.

Usando poi finestre scorrevoli si può estendere la ricerca a tutta la sequenza

Quali metodi di predizione utilizzare?

Neural network method	Accuracy (Q3)	Seq info	Evo info
Qian & Sejnowski 1988 (Qian and Sejnowski, 1988)	64.3%	✓	
PHD 1994 (Rost et al., 1994)	71.4%	✓	✓
PSIPRED 1997 (Jones, 1999)	76.5%	✓	✓
JPRED3 2008 (Cole et al., 2007)	81.5%	✓	✓
SPIDER3 2017 (Heffernan et al., 2017)	84%	✓	✓

HELP

PSIPRED

UCL Department of Computer Science: Bioinformatics Group

<http://bioinf.cs.ucl.ac.uk/psipred/>



Get PNG

Get SVG

Metodi Comparativi

Con il procedere dei progetti di sequenziamento stiamo assistendo ad una crescita esponenziale nel numero delle sequenze ma con poca conoscenza circa la loro struttura e funzione.

La determinazione della struttura e funzione di una sequenza non è un compito facile quindi la via migliore per arrivare alla comprensione della funzione e struttura delle sequenze è quella di mettere in relazione queste sequenze con altre sequenze conosciute **utilizzando metodi comparativi**.

I metodi di confronto delle sequenze rappresentano quindi il primo passo verso la caratterizzazione funzionale delle sequenze il cui compito è determinare **la relazione esistente tra struttura e funzione**.

I **metodi comparativi di analisi** possono essere applicati a diversi livelli:

- sequenza primaria
- struttura 3D

Le **metodologie più utilizzate nei metodi di analisi comparativi** sono:

- allineamento
- ricerca in banca dati

ALLINEAMENTO TRA SEQUENZE

L'allineamento tra due sequenze è fondamentale per determinarne la similarità reciproca ed inferire rapporti di omologia, funzione e conformazione strutturale.

Per raggiungere tale obiettivo occorrono due cose fondamentali:

- 1) Un algoritmo efficiente che sia in grado di rappresentare il più correttamente possibile la reale similarità tra le sequenze
- 2) Dei criteri di punteggio di similarità che siano in grado di definire la bontà dell'allineamento finale che si ottiene tra le sequenze e che supporti la creazione dell'allineamento stesso in fase di costruzione

Algoritmi euristici di allineamento

Sono nati insieme alle banche dati, con lo scopo di permettere una ricerca rapida, anche se meno accurata, utilizzando la similarità a coppie (o “pairwise”) sulle migliaia di sequenze depositate.

Attualmente i programmi più utilizzati sono:

FASTA: Lipman & Pearson (1985)

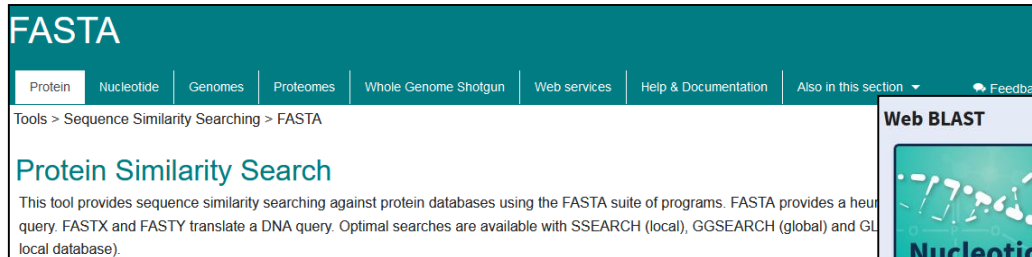
Nasce con il nome di FAST-P (ricerca veloce di proteine), ma poi viene adattato per gli acidi nucleici (FAST-N), quindi riunito in un FAST per tutti, FAST-A, o semplicemente FASTA.

<http://www.ebi.ac.uk/Tools/fasta33/index.html>

BLAST: Altshul (1990)

Il Basic Local Analysis Search Tool viene pensato

<http://blast.ncbi.nlm.nih.gov/Blast.cgi>



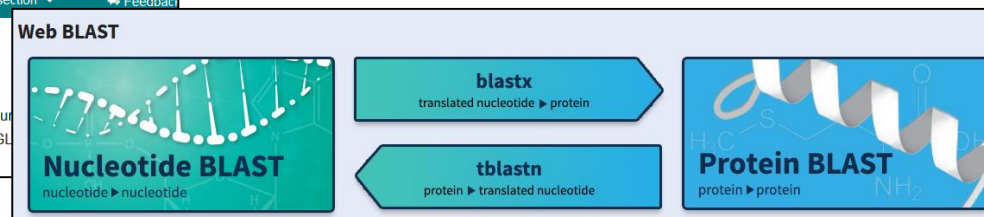
FASTA

Protein | Nucleotide | Genomes | Proteomes | Whole Genome Shotgun | Web services | Help & Documentation | Also in this section | Feedback

Tools > Sequence Similarity Searching > FASTA

Protein Similarity Search

This tool provides sequence similarity searching against protein databases using the FASTA suite of programs. FASTA provides a heuristic query. FASTX and FASTY translate a DNA query. Optimal searches are available with SSEARCH (local), GGSEARCH (global) and GLOCAL (local database).



Web BLAST

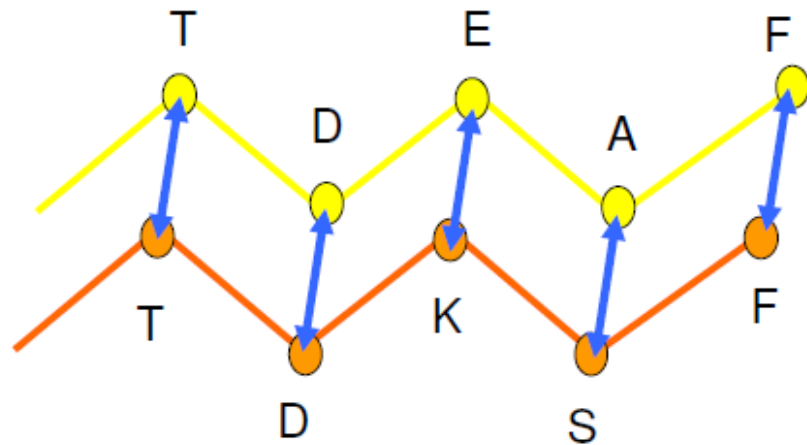
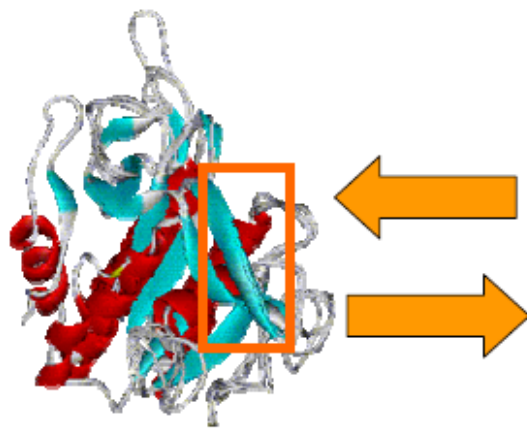
Nucleotide BLAST
nucleotide → nucleotide

blastx
translated nucleotide → protein

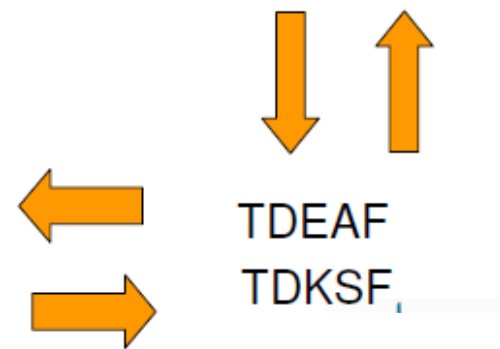
tblastn
protein → translated nucleotide

Protein BLAST
protein → protein

L'obiettivo finale: l'allineamento strutturale



MCDQTKHSKCCPAK---GNQCCPP--**TDEAF**---QQNQCCQSKGNQCCPPKQNQCCQPKG--
 M D +K ++CCP CCPP **TD F** Q++ CC + CCPPK + CC PK
 MSDSSKTNQCCPTPCCPPKPCPPKP**TDKSF**CCLQKSPCCPK--SPCCPPK-SPCCTPKVCP



Allineare due sequenze (proteine o acidi nucleici)

- Cosa vuol dire allineare due sequenze? scrivere due sequenze orizzontalmente in modo da avere il maggior numero di simboli identici o simili in registro verticale anche introducendo intervalli (gaps – inserzioni/delezioni – *indels*)

seq1: TCATG

seq2: CATTG

TCAT-G
.CATTG

→ 4 caratteri uguali
1 inserzione/delezione

Altro problema è il punteggio che si deve dare all'allineamento ovvero la significatività

In definitiva i problemi sono:

Biologici

Trovare un modo per confrontare e rappresentare la similarità o “dissimilarità” tra le biomolecole

Computazionali

Trovare un modo per ottenere un match tra le sequenze di caratteri che compongono le biomolecole

Statistici

Come valutare la validità del risultato

Tre tipi di allineamento

- **globale**: vengono allineate le intere sequenze dall'N- al C-terminale (o dal 5' al 3' per il DNA)
- **locale**: vengono allineate solo le zone con la più alta densità di somiglianza generando uno o più suballineamenti
- **freeshift**: Una via di mezzo tra globale e locale

GAIOALE

D	L	G	P	S	S	K	Q	T	G	K	G	S	S	M	D	I	W	D	N	G	M
D	-	I	-	-	T	K	S	A	G	K	G	A	I	M	R	L	-	-	E	-	M

LOCALE

-	-	-	-	-	-	-	-	-	G	K	G	-	-	-	-	-	-	-	-	-	-
-	-	-	-	-	-	-	-	-	G	K	G	-	-	-	-	-	-	-	-	-	-

FREESHIFT

D	L	G	P	S	S	K	Q	T	G	K	G	S	S	M	D	I	W	D	N	G	M
-	-	-	D	I	T	K	S	A	G	K	G	A	I	M	R	L	E	M	-	-	-

Predire la struttura terziaria

E di gran lunga la predizione più complessa che si possa fare su una proteina.

Esistono 3 metodi principali di predizione:

1 - Homology modelling:

se si conoscono proteine simili con struttura nota

2 – Fold recognition:

se si va alla ricerca di strutture simili, cercando il folding migliore

3 - Metodi di meccanica e dinamica molecolare

simulazioni di ripiegamento *in silico* molto complesse dato che si valutano tutte le possibili interazioni di tutti gli atomi con il solvente

Homology/
Comparative
modelling

Metodi di
meccanica e
dinamica
molecolare

Threading/
Fold
recognition

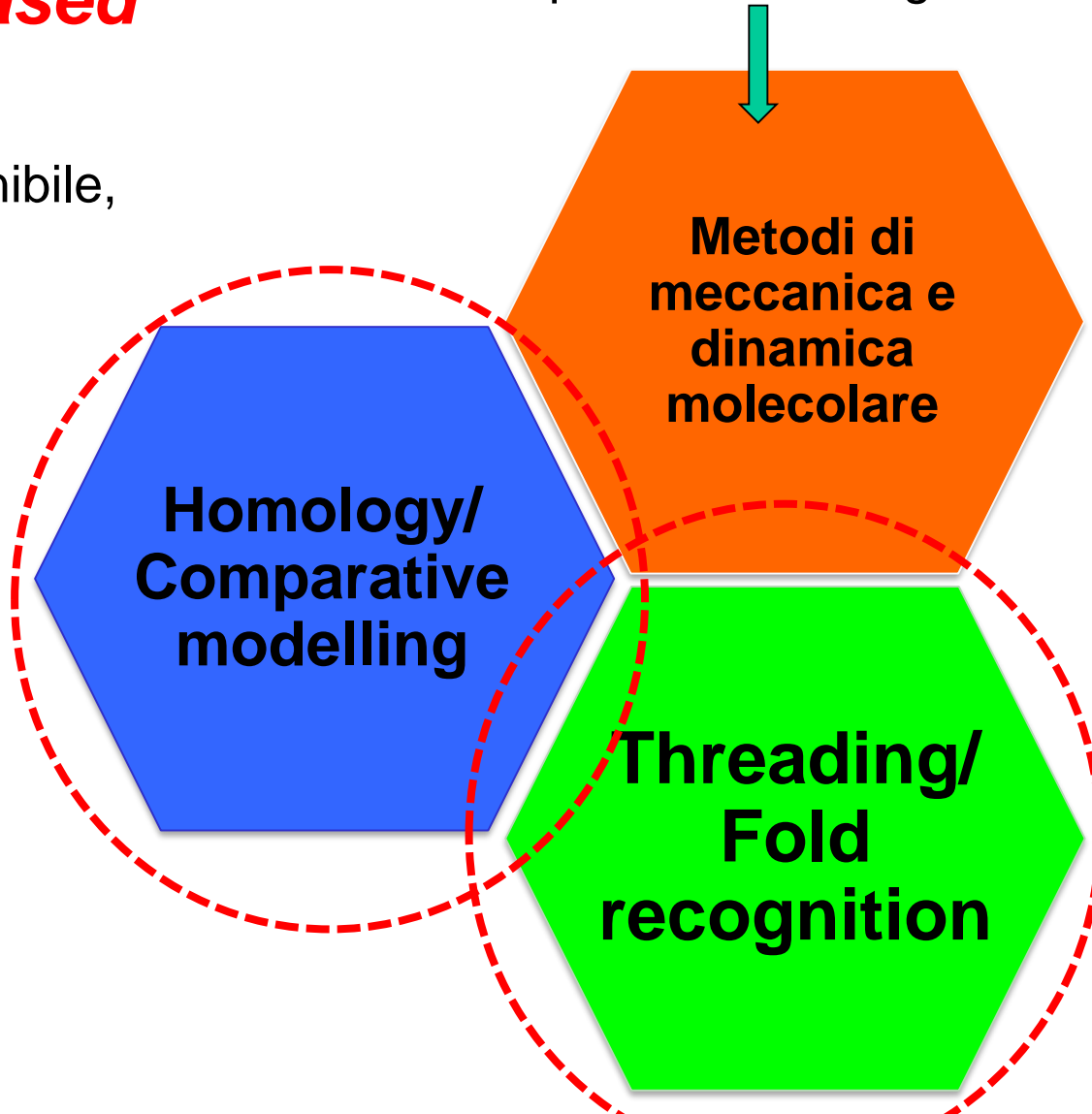
Metodi *knowledge based*

Si basano sull'informazione strutturale e di sequenza disponibile, utilizzando o meno informazioni evolutive.

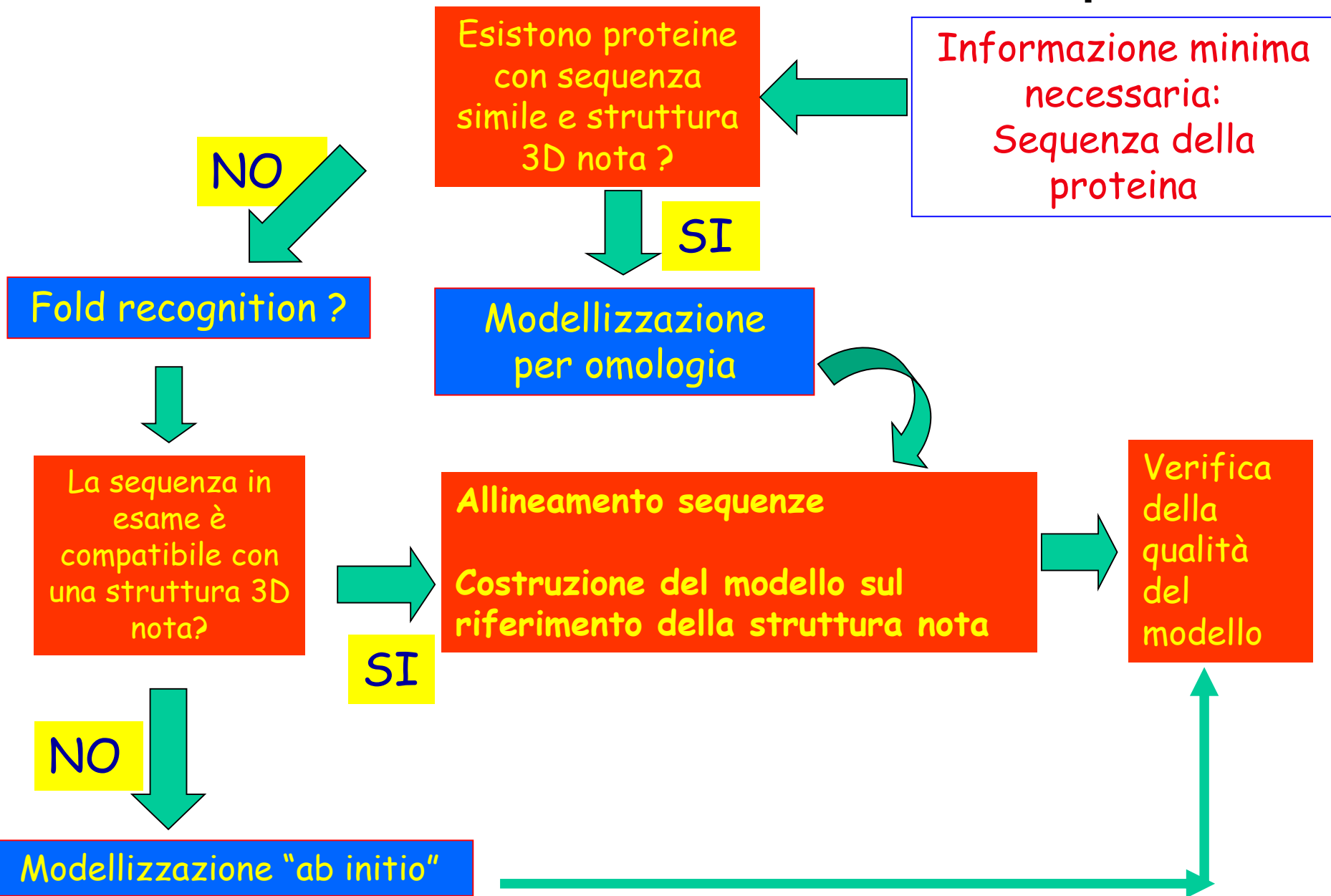
Possono dare ottimi risultati in tempo breve.

Si basano su principi teorici

tempi di calcolo lunghi !



Predizione della struttura tridimensionale delle proteine



FILOGENESI MOLECOLARE

Per filogenesi molecolare si intendono tutte quelle trasformazioni ed eventi di mutazione a livello del DNA che contribuiscono alla variabilità genetica e quindi ai suoi prodotti tra cui le proteine.

Il genoma subisce costantemente mutazioni ed i suoi meccanismi di riparo tengono sotto controllo la situazione affinché il tutto non degeneri in un accumulo dannoso per l'organismo in questione e la sua progenie (malattie genetiche trasmissibili, tumori ecc.)

Alle volte tali mutazioni sono eventi positivi che portano ad un vantaggio evolutivo premiato dalla selezione naturale che "fissa" tali mutazione nel DNA che viene trasmesso alle generazioni successive (eventi misurabili in milioni di anni)

Il DNA è un laboratorio in continuo sviluppo in cui intervengono fattori di selezione, ambientali ecc. Il tutto si traduce, per quanto ci riguarda, in nuove proteine che si modificano, acquisiscono nuove funzioni.

Le variazioni genetiche sono il presupposto fondamentale per l'evoluzione biologica: hanno origine spontaneamente in seguito a errori nel processo della replicazione oppure a mutazioni accidentali, anche dovute a fattori ambientali, che in qualche modo alterano la sequenza del DNA.

Definizioni: l'identità, la similitudine, la conservazione

Identità

La misura in cui due sequenze (di nucleotidi o aminoacidi) sono invarianti. (es. identità del 32% => 32 a.a. su 100 sono ordinatamente identici)

Conservazione

In una sequenza, modifiche in una specifica posizione di un amminoacido (o meno comunemente, DNA) che preservano le proprietà fisico-chimiche del residuo originale.

Similitudine

La misura in cui due sequenze (di nucleotidi o aminoacidi) sono correlate. Si basa su identità + conservazione.

Similarita' e omologia

- Due sequenze sono simili se possono essere allineate in modo che molti amminoacidi corrispondenti sono identici o simili
- Tecnicamente due o piu' sequenze possono essere definite omologhe se derivano da un progenitore comune
- L'omologia tra due sequenze si deduce dalla loro similarita' in sequenza o funzione.

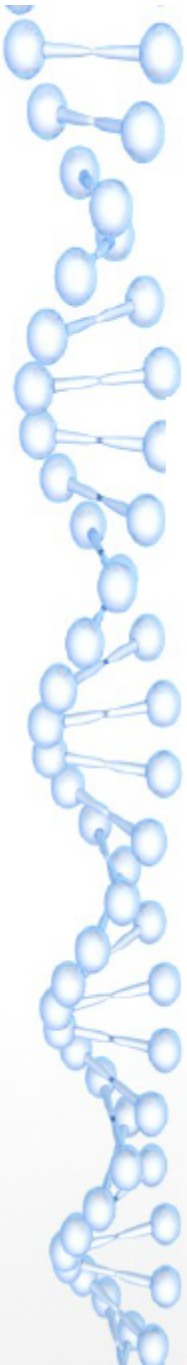
Definizione: omologia

Omologia

Similitudine attribuita a discendenti da un antenato comune.

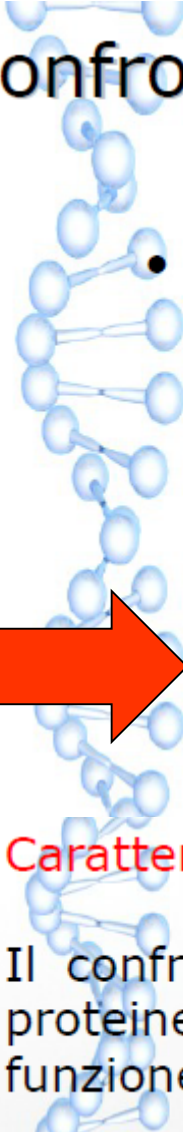
NOTA BENE:

- **OMOLOGIA** indica che due entità (es. 2 sequenze) hanno una stessa origine filogenetica, cioè derivano da un antenato comune. È un carattere **QUALITATIVO**.
- **SIMILITUDINE** indica che due entità (es. 2 sequenze), in relazione ad *un certo criterio* comparativo, hanno *un certo grado* di similitudine. È un carattere **QUANTITATIVO**



Similarità e omologia

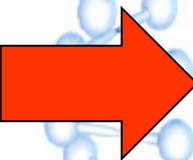
- Tra due o più sequenze può esserci un certo grado di similarità.
- A volte una similarità tra sequenze implica una similarità strutturale e, conseguentemente, una similarità funzionale.
- L'omologia tra sequenze indica invece una comune origine evolutiva tra di esse. Due sequenze si dicono omologhe quando discendono entrambe da una sequenza ancestrale comune(ancestore)
- Due o più sequenze simili tra loro possono quindi essere omologhe o meno.



Confrontare sequenze

- Il confronto fra sequenze, nucleotidiche o aminoacidiche, è uno dei compiti fondamentali della bioinformatica.

Perché è possibile confrontare sequenze?



Perché generalmente in natura le strutture molecolari non vengono create ex-novo ma per modificazione di modelli preesistenti.

Caratterizzazione di proteine con funzione ignota

- Il confronto di una proteina a funzione ignota con una famiglia di proteine a funzione nota può permettere di formulare ipotesi sulla funzione della prima.

Relazione sequenza-struttura-funzione

Evoluzione divergente

- proteine con elevata identità di sequenza discendono da un ancestore comune
- avranno strutture molto simili

casi limite

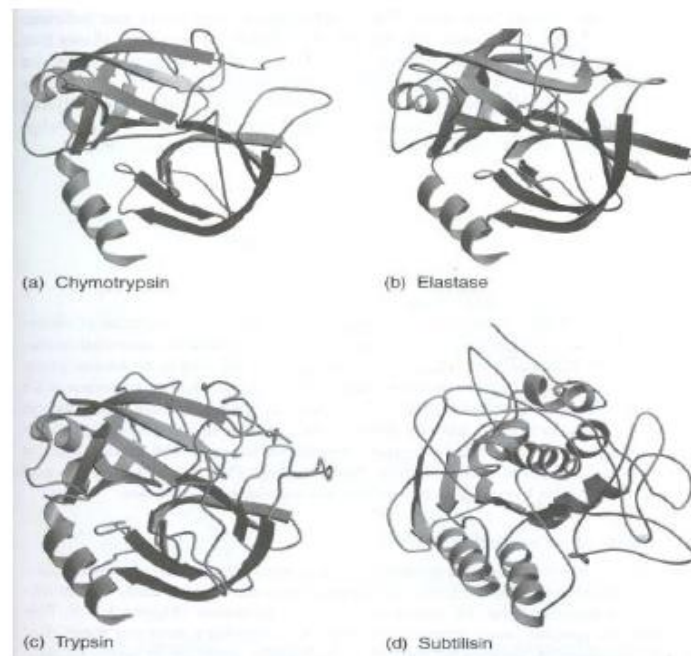
- 1) proteine con bassa similarità di sequenza ma struttura complessiva e di sito attivo simili sono probabilmente omologhe
 - ⇒ conservazione selettiva di residui strutturalmente e funzionalmente importanti
- 2) strutture e sequenze simili ma funzioni biochimiche differenti
 - ⇒ le strutture divergono più lentamente delle funzioni durante l'evoluzione

Evoluzione convergente

- proteine che differiscono in sequenza e struttura
- presentano però una configurazione del sito attivo che converge verso una medesima struttura, che ne determina la funzione biochimica

Evoluzione divergente di famiglie di proteine

Le serino-proteasi sono una famiglia di enzimi che hanno una struttura 3D molto simile e un pressoché identico meccanismo di reazione.



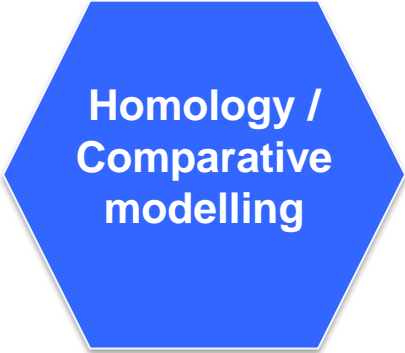
La differenza fra questi enzimi è la **specificità di substrato**:

- La tripsina taglia i peptidi in corrispondenza di Lys e Arg
- La chimotripsina taglia i peptidi in corrispondenza di Trp, Phe, Tyr
- l'elastasi taglia i peptidi in corrispondenza di piccoli Aa idrofobici (Ala)

evoluzione convergente

la serino-proteasi del batterio è diversa come struttura 3D dalle serino-proteasi di mammifero ma ha la stessa specificità di substrato e lo stesso meccanismo catalitico.

Organismi diversi partendo da una differente struttura 3D hanno evoluto proteine con una stessa funzione.



Homology /
Comparative
modelling

Modelling per Omologia

(Homology (o Comparative) Modelling)

- In generale, a maggiore identità di sequenza tra due proteine, corrisponde maggiore similarità tra strutture
- La qualità del modello dipende dalla similarità tra le sequenze delle due proteine

Homology modelling

Assunzione di base: due proteine che presentano una identità del 30% circa, molto probabilmente avranno una struttura simile.

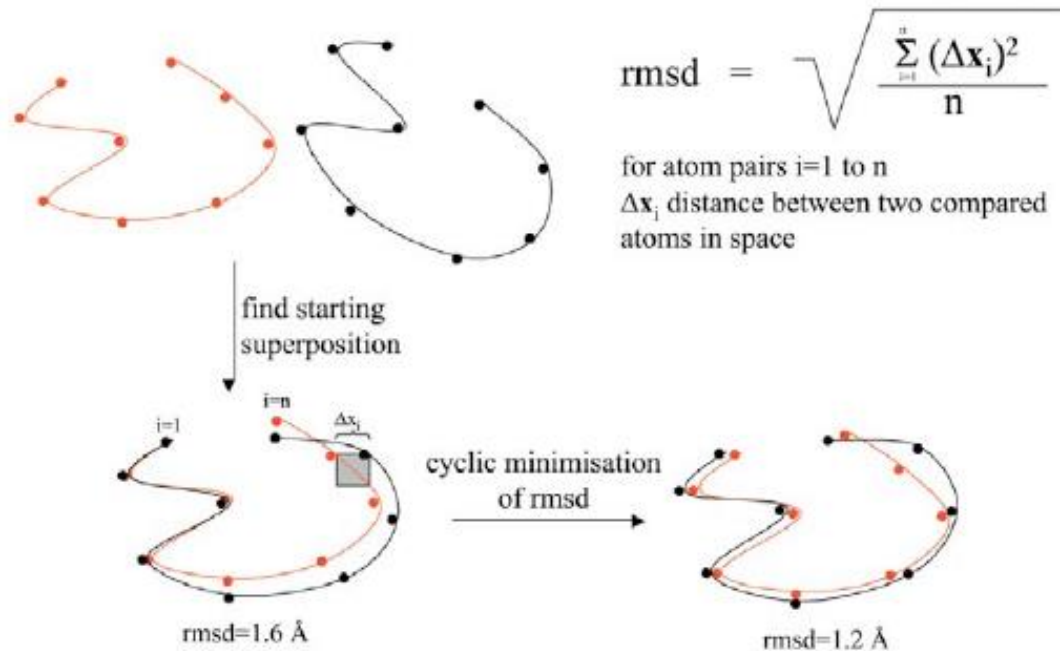
Si va a valutare la

r.m.s.d. (root mean square deviation)

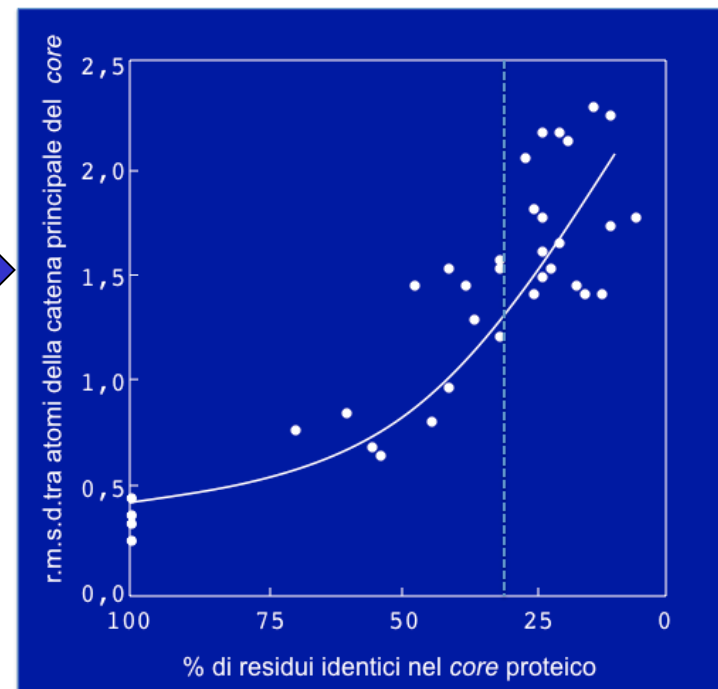
cioè la distanza quadratica media tra gli atomi, generalmente i carboni alpha, ma si può calcolare anche su tutti gli atomi.

Minore è il r.m.s.d. maggiore è la similarità strutturale

Root mean square deviation (rmsd)



Se l'identità tra due sequenze proteiche è **superiore** al 30%, si può assumere che le loro strutture siano simili



Allineamento di Sequenze

- ▶ L'allineamento tra due o più sequenze può aiutare a trovare regioni simili per le quali si può supporre svolgano la stessa funzione;
- ▶ La similarità tra due o più sequenze può essere definita in base a una funzione distanza: Tanto più simili sono le sequenze, tanto meno distanti sono;
- ▶ Esistono diversi algoritmi di allineamento ciascuno dei quali definisce una funzione distanza;
- ▶ Dato un allineamento possiamo assegnare uno **Score** che indica il grado di similarità delle due sequenze.

Quindi...

- Proteine con sequenze simili hanno generalmente anche strutture tridimensionali simili
- Proteine simili da un punto di vista strutturale tendono ad avere anche funzioni simili (non sempre)
- Proteine con funzione simile potrebbero avere una sequenza completamente differente (il sito attivo ha una struttura simile derivante da evoluzione convergente)

L'approccio all'homology modeling è abbastanza intuitivo, ma è bene seguire delle considerazioni pratiche che possono essere definite

Linee guida per costruire un buon modello:

- ① Analizzare la struttura secondaria prima di quella tridimensionale, dato che se ci sono regioni fortemente random-coil, è bene escluderle dalla modellazione (sono, per definizione, non modellabili).
- ② Identificare in banca dati una proteina a struttura nota che abbia una alta identità (> 50%) con la propria, o identità globale o identità locale.
- ③ Allineare al meglio le due proteine. Rifinire l'allineamento a mano, se necessario. Questa tappa è critica, perchè la modellazione verrà fatta sulle proteine allineate.

Homology/ Comparative modelling

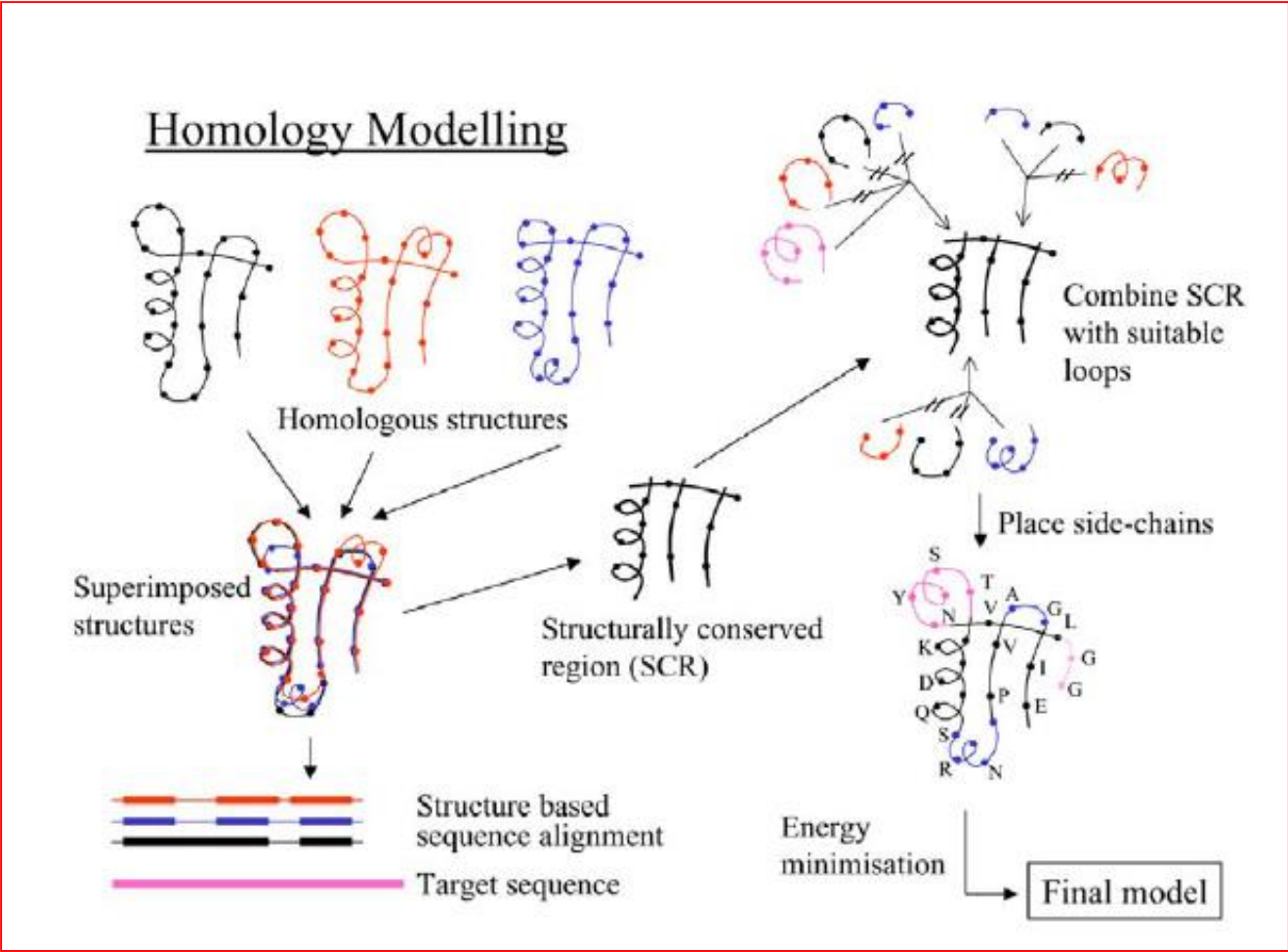
4. Cercare in banca dati il più alto numero di proteine simili tra loro e identificare dopo il multiallineamento le regioni di struttura secondaria conservate (in genere se ci sono dal multiallineamento si vede). Si costruisce così un *pre-modello*.
5. Modellare per prima cosa le regioni altamente variabili (in genere i loops) che connettono regioni a struttura secondaria definita. Esistono database anche dei loops (tutti i loops osservati), quindi non si modella a caso, ma si cerca la struttura di un loop già presente. Se non c'è, o se ce ne sono più di uno compatibile, osservare le regioni pre-loop e post-loop.
6. Modellare le catene laterali sulla base delle catene della proteina nota. Esistono per questo delle librerie di ROTAMERI, cioè isomeri delle catene laterali con angoli di torsione adeguati alle torsioni del backbone.

Homology/ Comparative modelling

7 - Risolvere, se possibile, i problemi relativi alle collisioni dei vari atomi, o manualmente o con programmi che indicano l'energia minima delle strutture. Alla fine gli atomi di una proteina non dovranno collidere, e la proteina dovrà essere alla minor energia possibile.

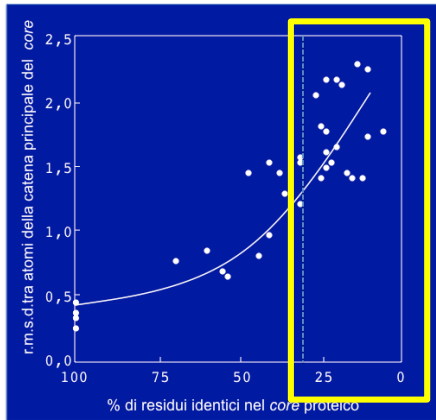
**Nonostante ci siano delle regole abbastanza precise,
l'homology modelling è molto complesso e richiede
un grande lavoro e molto tempo.**

schematizzando....



Protein threading = fold recognition

Threading /
Fold
recognition



Al di sotto del 20-25% di identità tra *query* e *templato* (struttura risolta) ci troviamo nella cosiddetta “zona notturna” (*midnight zone*)

in cui non si riesce a distinguere una somiglianza di sequenza significativa, ed anzi le similarità possono derivare sia da evoluzione divergente (omologia) che convergente.

In questo caso si utilizza un approccio diverso, detto di **fold recognition**, per mezzo del **threading** (allineamento).

Protein threading = fold recognition

Il *Protein threading* si basa su due osservazioni fondamentali:

- 1) le proteine presenti in natura hanno un numero finito di strutture possibili, o almeno un numero finito di topologie (<1000)
- 2) Il 90% delle strutture nuove archiviate nel data-base PDB negli ultimi 3 anni hanno struttura simile ad una già esistente nel PDB.



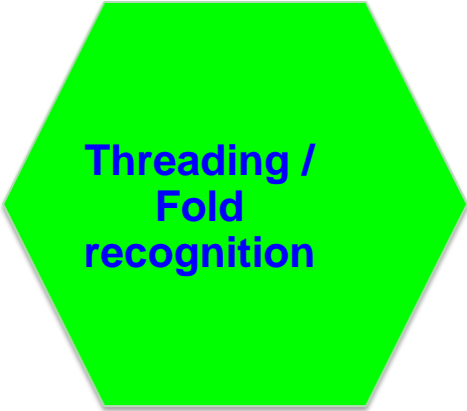
Questo tipo di approccio parte dall'osservazione che la struttura tridimensionale è generalmente più conservata della sequenza: si stima che infatti possano esistere 10^4 tipi di *fold* base, a fronte di un numero virtualmente infinito di possibili sequenze diverse.

Il metodo è usato per predire la struttura di quei biopolimeri che hanno gli stessi ripiegamenti (*folds*) di biopolimeri di struttura nota ma non presentano omologia con tali strutture note.

La predizione viene effettuata per "threading" (cioè allineamento) di ogni aminoacido nella posizione della sequenza della struttura nota (templato) e valutando quanto buono risulta il fitting.

Un ottimo server per predizioni di questo tipo è **Phyre** (<http://www.sbg.bio.ic.ac.uk/phyre2/>).

Threading /
Fold
recognition



Threading /
Fold
recognition

Tra i diversi sistemi di riconoscimento del *fold*, uno dei primi proposti è quello dei **Profili-3D**, in cui la struttura 3D viene “tradotta” in una sequenza che tiene conto delle caratteristiche strutturali di ogni residuo.

In particolare, i residui vengono divisi in diverse classi:

- esposto al solvente,
- parzialmente esposto,
- non esposto

queste classi sono poi suddivise in **sottoclassi**, per un totale di **6**.

Il residuo può poi appartenere a strutture secondarie (eliche e foglietti) o *loop*.

In totale, esistono **$6 \times 3 = 18$ classi**, che descrivono l'intera gamma dei possibili intorni chimici dei residui di una struttura.

JMB



A 3D-1D Substitution Matrix for Protein Fold Recognition that Includes Predicted Secondary Structure of the Sequence

Danny W. Rice and David Eisenberg*

Or

Threading /
Fold
recognition

Per mezzo di matrici di punteggio 3D-1D,

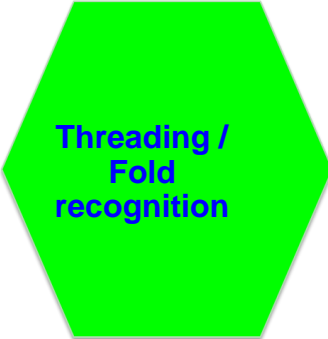
The 1D-sequence/1D-string scoring matrix

ottenute analizzando strutture reali, è possibile confrontare questo alfabeto di 18 lettere con quello a 20 lettere degli aminoacidi: in pratica, queste matrici ci dicono con quale propensione ogni aminoacido si colloca in ognuna delle 18 classi.

E' possibile così confrontare una sequenza proteica allineandola con tutti i possibili profili di tutti i fold conosciuti, ricavando un punteggio che valuti il *best fitting* della sequenza.

Facendo così si è in grado di identificare strutture di proteine anche molto divergenti tra loro, al punto di non essere riconosciute da nessun programma di allineamento o di similarity search.

Un esempio tipico è l'individuazione della struttura di proteine che hanno la stessa funzione a causa di una **evoluzione convergente**: originandosi da geni diversi non correlati, la sequenza (sia aminoacidica, sia nucleotidica) sarà molto diversa, ma la struttura terziaria, almeno nell'intorno del sito catalitico, deve essere costante per garantire una stessa funzionalità



Threading /
Fold
recognition

Iterative Threading ASSEmby Refinement

University of Michigan

Department of Computational Medicine and Bioinformatics



I-TASSER

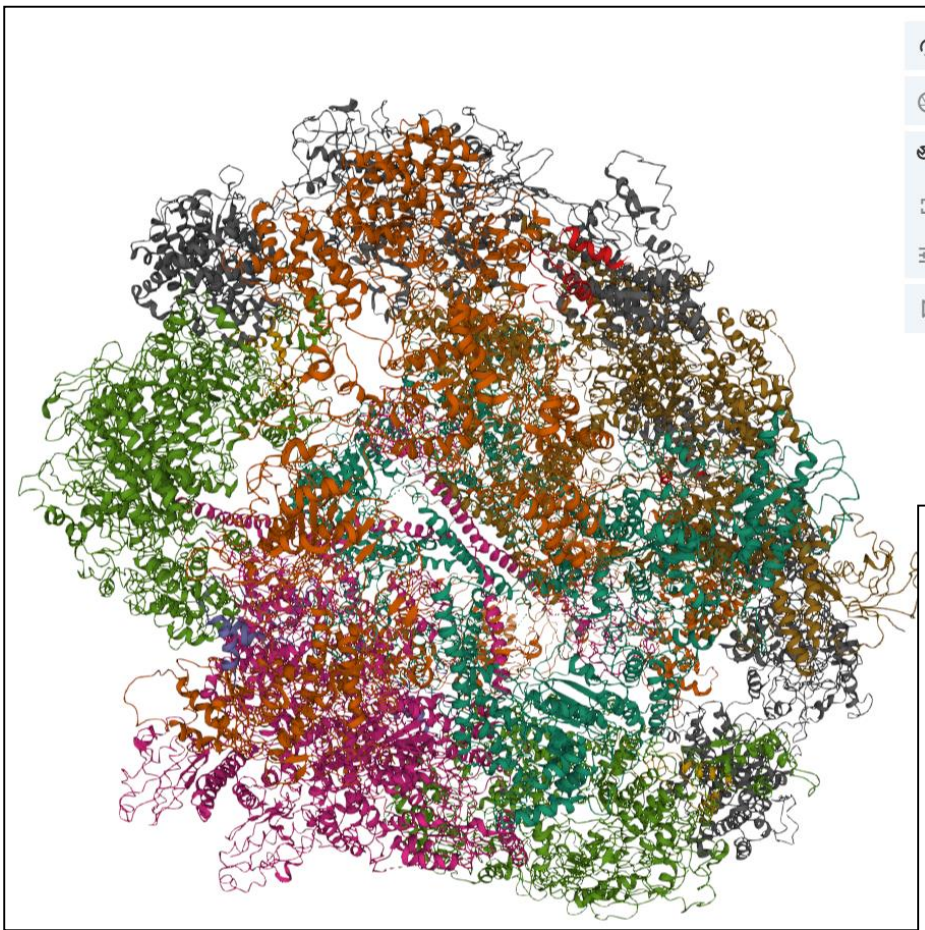
Protein Structure & Function Predictions

(The server completed predictions for [579090 proteins](#) submitted by [138555 users](#) from [150 countries or regions](#))

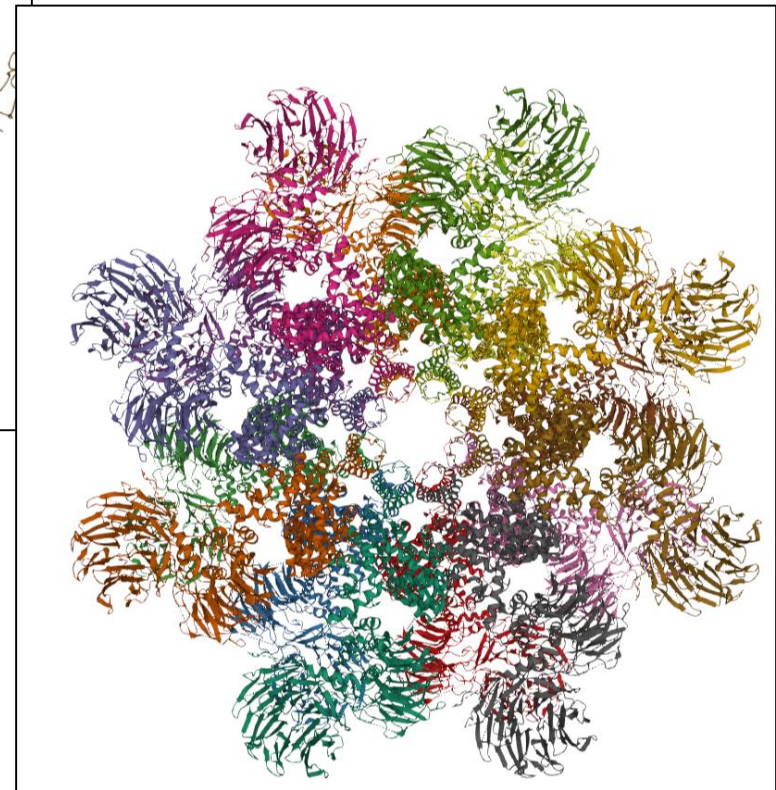
(The template library was updated on [2020/11/01](#))

I-TASSER (Iterative Threading ASSEmby Refinement) is a hierarchical approach to protein structure prediction and structure-based function annotation. It first identifies structural templates from the PDB by multiple threading approach [LOMETS](#), with full-length atomic models constructed by iterative template-based fragment assembly simulations. Function insights of the target are then derived by re-threading the 3D models through protein function database [BioLiP](#). I-TASSER (as 'Zhang-Server') was ranked as the No 1 server for protein structure prediction in recent community-wide [CASP7](#), [CASP8](#), [CASP9](#), [CASP10](#), [CASP11](#), [CASP12](#), and [CASP13](#) experiments. It was also ranked the best for function prediction in [CASP9](#). The server is in active development with the goal to provide the most accurate protein structure and function predictions using state-of-the-art algorithms. Please report problems and questions at [I-TASSER message board](#) and our developers will study and answer the questions accordingly. ([>> More about the server ...](#))

Proteina HELP



2PFF
Structural Insights of Yeast Fatty Acid Synthase
(rank=1)



4V4L (1VT4)
Structure of the Drosophila apoptosome (rank=3)

Protein threading VS. Homology

When the sequence identity in a sequence-sequence alignment is low (i.e. <25%), homology modeling may not produce a significant prediction. In this case, if there is distant homology found for the target, **protein threading** can generate a good prediction.

Homology modeling and protein threading are both **template-based methods** and there is no rigorous boundary between them in terms of prediction techniques. **When there is no significant homology found, protein threading can make a prediction based on the structure information.**

But the protein structures of their targets are different.

Homology modeling is for those targets which have homologous proteins with known structure (usually/maybe of same family), while **protein threading** is for those targets **with only fold-level homology** found. In other words, homology modeling is for "easier" targets and protein threading is for "harder" targets.

Homology modeling treats the template in an alignment **as a sequence**, and only sequence homology is used for prediction.

Protein threading treats the template in an alignment **as a structure**, and both sequence and structure information extracted from the alignment are used for prediction.

Homology modelling	Threading/Fold-recognition
Identifica prima gli omologhi	Prova tutte le possibili strutture
Si determina l'allineamento ottimale	Prova tutti i possibili allineamenti strutturali
Ottimizza un modello	Valuta molti modelli poco accurati nei dettagli

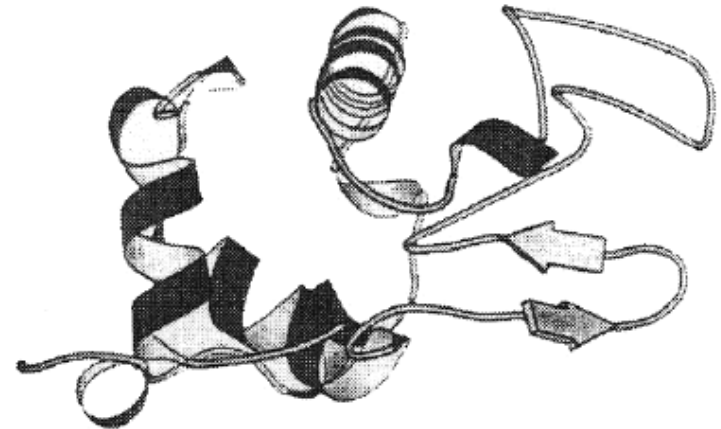
ESEMPIO:

OMOLOGIA E FUNZIONE

può non essere sufficiente a determinare la categoria funzionale anche nel caso di omologia di sequenza confermata ed appartenenza ad una stessa famiglia di proteine sebbene questo caso sia più raro.



(a) Lysozyme EC 3.2.1.17

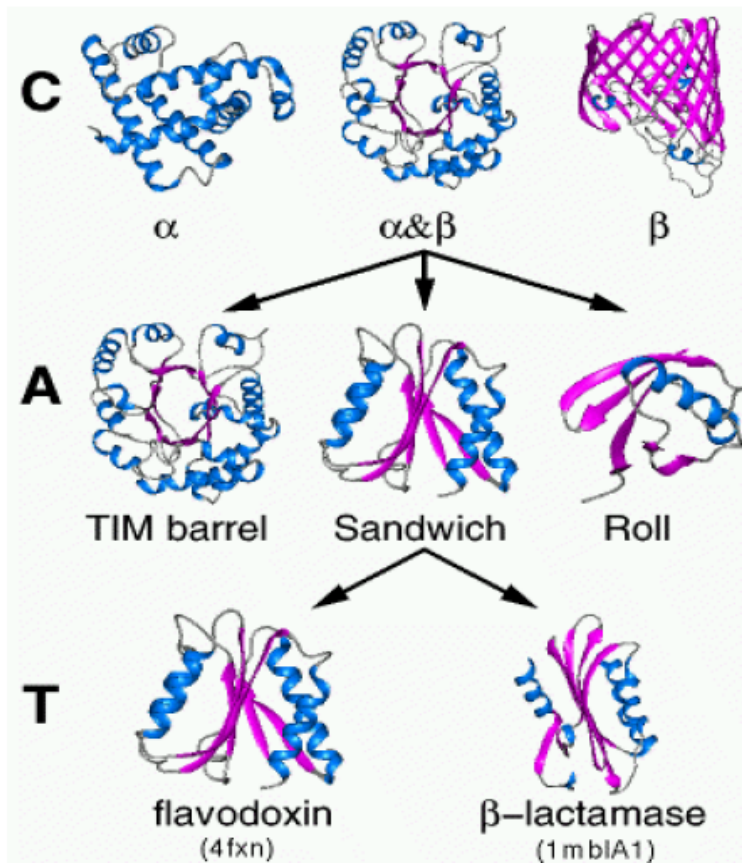


(b) Alpha-lactalbumin (nonenzyme)

Lisozima e alpha-lactalbumina hanno il 40% di identità e struttura simile ma differente funzione. Il sugar-binding site delle due proteine è stato mantenuto ma nella lactalbumina ha cessato la sua funzione

Banche dati – Proteine: CATH

- Database che definiscono *famiglie strutturali*.
- Aiutano a predire le strutture e a caratterizzarle (secondo un'idea evuzionistica della funzione).



CATH: a hierarchical domain classification of protein structures in the Protein Data Bank

Classificazione in modo curato sulla base di:

- **CLASSE** (contenuto e tipo di strutture secondarie)
- **ARCHITETTURA** (descrizione dell'orientamento delle strutture secondarie senza tener conto delle connessioni)
- **TOPOLOGIA** (tiene conto delle connessioni che caratterizzano le strutture secondarie)
- **(H)OMOLOGIA** (raggruppa proteine con strutture e funzioni simili)

<https://www.cathdb.info/>

CATH / Gene3D v4.3

151 million protein domains classified into 5,481 superfamilies

Search by keywords, PDB code, GO term, etc

Search

